

МОСКОВСКИЙ ГОСУДАРСТВЕННЫЙ УНИВЕРСИТЕТ им. М.В.ЛОМОНОСОВА  
НАУЧНО-ИССЛЕДОВАТЕЛЬСКИЙ ИНСТИТУТ ЯДЕРНОЙ ФИЗИКИ

"УТВЕРЖДАЮ"

Директор НИИЯФ МГУ  
Профессор

 /И.Б.Теплов/

"04" 10 1989г.

В.И.Рудь

ОТЧЕТ  
по х/д I4I-88

"Изучение свойств черенковских и сцинтилляционных ливневых калориметров при высоких энергиях"

ЧАСТЬ II

Изучение свойств комбинированного черенковско-сцинтилляционного калориметра для регистрации  $\gamma$ -квантов высоких энергий.

Ответственный исполнитель  
ст.н.с.  В.И.Рудь

Москва 1989г.

## СОДЕРЖАНИЕ

	стр.
1. Введение .....	I
2. Постановка задачи .....	2
3. Особенности моделирования фотонного детектора .....	7
4. Определение оптимальной толщины конверторов $\gamma$ -квантов .....	II
5. Обсуждение результатов моделирования .....	I7
6. Итоги работы и выводы .....	20
Литература .....	21
Таблицы .....	22

## I. Введение

Эксперимент E-76I во ФНАЛ, в котором участвует ИТЭФ, ставит своей целью точные измерения вероятностей радиационных распадов гиперонов с изменением странности

$$\Sigma^+ \rightarrow p + \gamma, \quad 100 \text{ тыс. событий}, \quad (1)$$

$$\Xi^- \rightarrow \Sigma^- + \gamma, \quad 30 \text{ тыс. событий}, \quad (2)$$

и параметров асимметрии этих распадов. Поляризация начальных гиперонов будет составлять  $\sim 20\%$ , их импульсы - до 350 ГэВ/с.

В настоящее время существует противоречие между имеющимися экспериментальными данными и предсказаниями электрослабой теории для распадов (1) и (2).

Жесткие требования к гиперонному каналу и применение кремниевых стриповых детекторов позволят с высокой точностью измерять траектории начальных гиперонов и обеспечат измерение их импульсов с точностью  $\sim 0,15\%$ . Импульсы барионов распада будут определены трехмагнитным спектрометром с пропорциональными камерами.

Для регистрации  $\gamma$ -квантов предназначен фотонный детектор (ФД) (рис.1), представляющий собой систему из двух секций детектора переходного излучения (ДПИ) и электромагнитного калориметра (ЭМК) из свинцового стекла. Перед каждой секцией ДПИ стоит стальной конвертор  $\gamma$ -квантов и блок пропорциональных камер (рис.2).

Координаты  $\gamma$ -кванта будут измеряться после конверторов детекторами переходного излучения путем измерения координат быстрых  $e^\pm$  от конверсии, летящих в направлении исходного  $\gamma$ -кванта. Точность измерения координат  $\sim 0,5$  мм. С целью увеличения точности определения  $Z$ -координаты начала ливня ДПИ разбит на две секции.

Каждая секция ДПИ (рис.2) состоит из двух блоков (для измерения X- и Y- координат), состоящих из радиатора из 200 полипропиленовых фольг и ксеноновых пропорциональных камер ПК-X, Y с шагом

2 мм, регистрирующих фотоны переходного излучения от  $e^{\pm}$  с энергиями  $E > 2,5$  ГэВ.

Для уменьшения фона информация с относительно медленного ДПИ снимается в совпадении с пропкамерой ПК.

Расположенный за ДПИ электромагнитный калориметр (рис. I и 3) должен измерять только энергию  $\gamma$ -кванта (ливня). Т.о., для реакций (1) и (2) полностью будут измерены векторы импульсов начальных гиперонов и всех продуктов радиационных распадов, что должно привести к хорошей кинематической идентификации реакций.

ЭМК собирается из блоков свинцового стекла F-2 размером  $10 \times 10 \times 38$  см<sup>3</sup> по схеме, приведенной на рис. I и 3.

В центре фотонного детектора (в конверторах и ЭМК) сделаны отверстия размером  $10 \times 3,5$  см<sup>2</sup> (рис. I и 3) для пропуска распадных барионов, летящих под малыми углами к направлению первичного гиперона.

## 2. Постановка задачи

Эксперимент предъявляет противоречивые требования к фотонному детектору.

Конверторы, необходимые для работы ДПИ в координатном режиме, снижают долю энергии, поглощаемой в ЭМК, и ухудшают его энергетическое разрешение.

Чтобы исключить попадание распадных барионов в ЭМК, центральное отверстие надо делать достаточно большим. Но это приводит к уменьшению аксептанса для  $\gamma$ -квантов.

Для регистрации распада  $\Sigma^+ \rightarrow p + \gamma$  требуется высокое разрешение ЭМК, чтобы отделиться от в 500 раз более интенсивного фонового процесса  $\Sigma^+ \rightarrow p + \pi^0$ . Аксептанс от размеров отверстия зависит слабо.

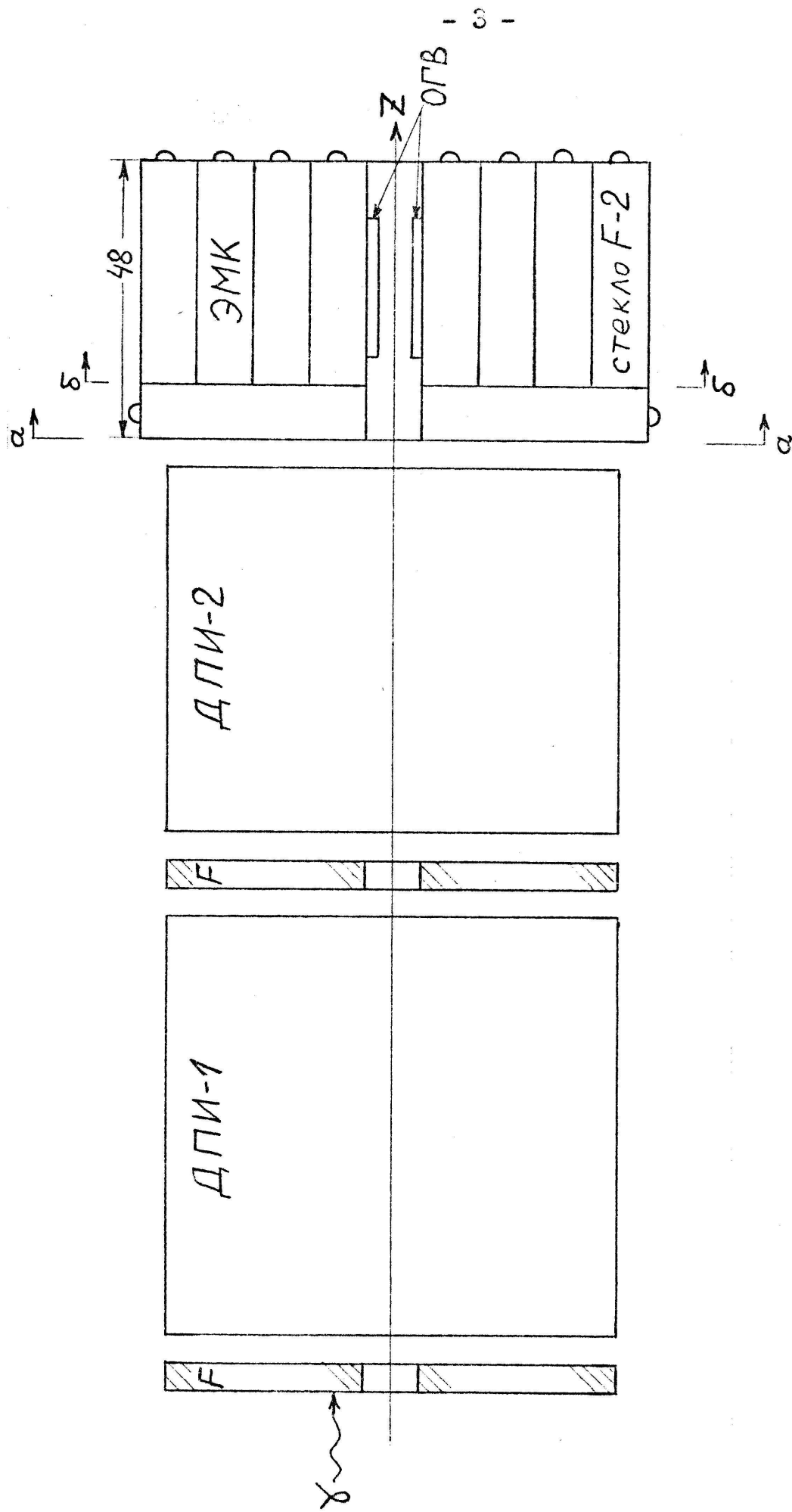


Рис. 1. Схема фотонного детектора:  
 F - стальные конверторы,  
 ДПИ - детекторы переходного излучения,  
 ЭМК - электромагнитный калориметр из стекла F-2 и ОГВ.

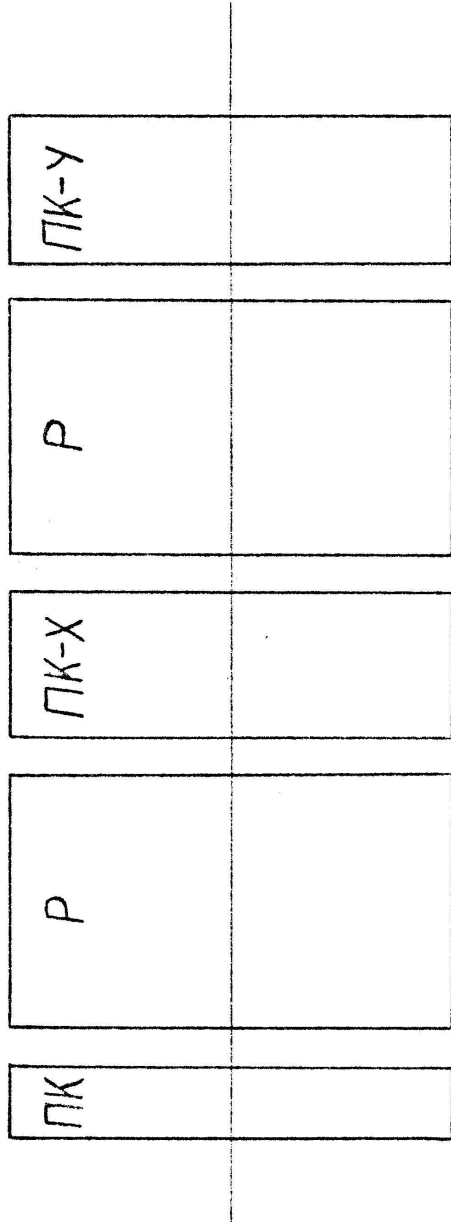
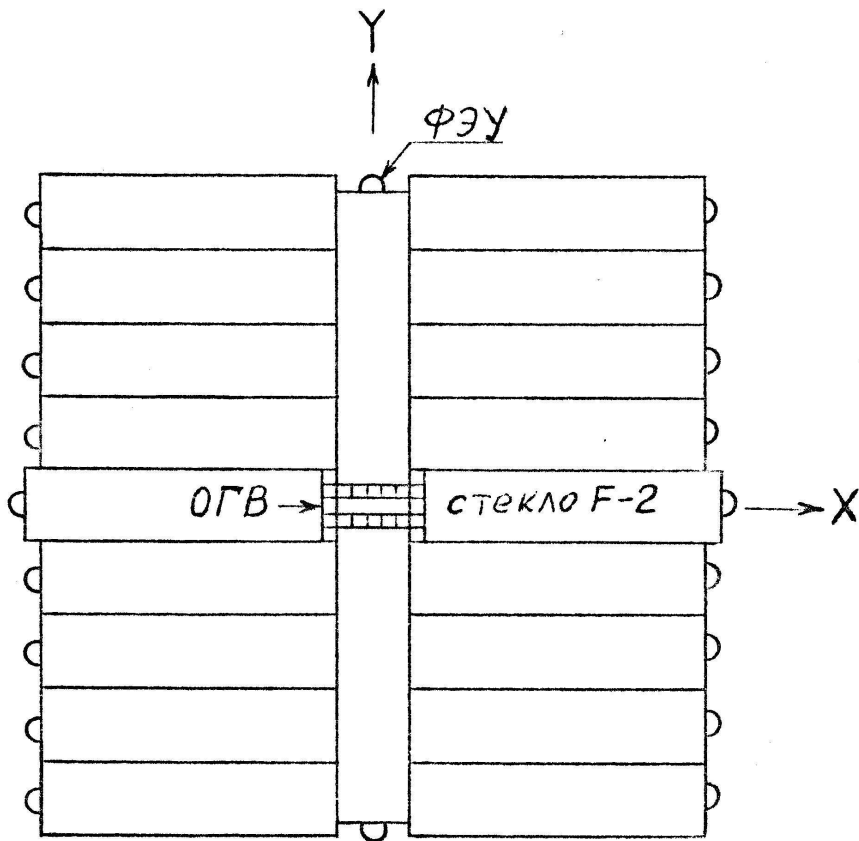
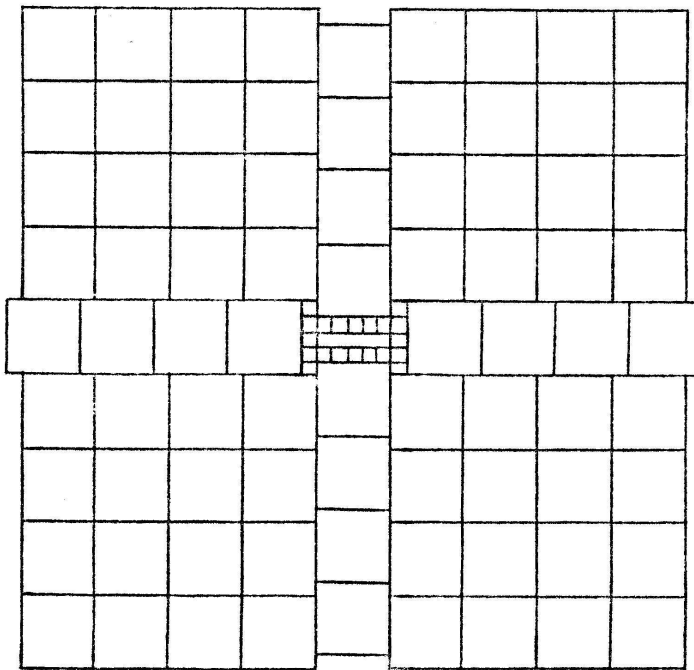


Рис.2. Схема ДИИ:

Р - радиаторы из полипропиленовых фольг,  
ПК-Х(У) - Xe-пропорциональные камеры,  
регистрающие X(Y)-координату,  
ПК - пропорциональная камера.



а)



б)

Рис.3. Схема ЭМЖ:

а) - вид по сечению аа рис.1,

б) - вид по сечению бб рис.1.

А для регистрации распада  $\Xi^- \rightarrow \Sigma^+ \gamma$  можно несколько снизить разрешение, но зато требуется уменьшать центральное отверстие для сохранения аксептанса.

В силу заметных утечек через центральное отверстие от ливней, рожденных близко к краю отверстия, для улучшения разрешения приходится ограничиваться ливнями, отстоящими от края отверстия на расстоянии  $\gtrsim R_M$ , что приводит к эффективному увеличению размера отверстия и падению аксептанса.

Для ослабления этого эффекта ИТЭФ-ом было предложено выложить внутреннюю часть центрального отверстия ЭМК тонким слоем высокоплотного сцинтиллятора - ОГВ. На рис. 1 и 3 приведена схема выкладки отверстия блоками ОГВ размером  $2,4 \times 2,4 \times 20 \text{ см}^3$ .

Перед нами были поставлены следующие задачи по моделированию фотонного детектора для регистрации  $\gamma$ -квантов высоких энергий.

1. Определить оптимальную толщину конверторов для ДПИ.
2. Изучить влияние слоя ОГВ на разрешение ЭМК, найдя предварительно оптимальное по оси  $Z$  положение ОГВ.
3. Смоделировать работу ЭМК со слоем ОГВ в центре и предшествующими конверторами, изучив зависимость его энергетического разрешения от координат падения  $\gamma$ -квантов во всем диапазоне энергий  $\gamma$ -квантов.

Из результатов моделирования кинематики распадов (1) и (2) известно, что для реакции (1) энергии  $\gamma$ -квантов лежат в пределах от 10 до 100 ГэВ. Для реакции (2) этот интервал уже: от  $\sim 1$  ГэВ до 40 ГэВ с максимумом в области 5 ГэВ. Для перекрытия всего диапазона энергий  $\gamma$ -квантов были выбраны 4 точки по энергии: 5, 10, 50 и 100 ГэВ.

### 3. Особенности моделирования фотонного детектора

Общий подход к моделированию ЭМ каскадов и соответствующее математическое обеспечение были нами описаны в I части отчета [1].

Отметим особенности моделирования ливней в ЭМК из блоков оптического стекла с высоким содержанием свинца<sup>\*)</sup>. Здесь сигнал возникает как вспышка черенковского света в стекле от быстрых электронов и позитронов ливня и регистрируется, например, ФЭУ. В силу направленности черенковского излучения светособирание здесь отличается от того, что имеет место в сцинтилляторах. Однако, учет светосбора не входил в нашу задачу.

Черенковские ливневые калориметры технологичны, относительно дешевы. Но они проигрывают тяжелым сцинтилляторам (типа ОГВ) в компактности и в пространственном разрешении в силу меньшей плотности вещества (и больших  $X_0$ ):

	$\rho$ (г/см <sup>3</sup> )	$n$	$X_0$ (см)	$R_M$ (см)	$\epsilon_c$ (МэВ)
Стекло F-2	3,61	1,62	3,2	3,9	17,3
ОГВ	7,13	2,15	1,12	2,4	9,8

Как и в [1],  $n$  - показатель преломления,  $\epsilon_c$  - критическая энергия.

Так как нашей целью является изучение эффектов на границе центрального отверстия, то для моделирования фотонный детектор может быть представлен в виде набора бесконечных полуплоскостей, как это показано на рис.4, где также приведены некоторые обозначения.

Т.к. для конверторов предполагается сталь с содержанием железа ~99%, то в расчетах рассматривались конверторы из чистого железа.

Количество вещества в секциях ДШИ пренебрежимо мало по сравнению с количеством вещества в конверторах минимальной толщины, поэ-

---

\*) Стекло F-2 имеет следующий химический состав: PbO - 44%, SiO<sub>2</sub> - 50%, K<sub>2</sub>O - 3,5%, Na<sub>2</sub>O - 2,5%.

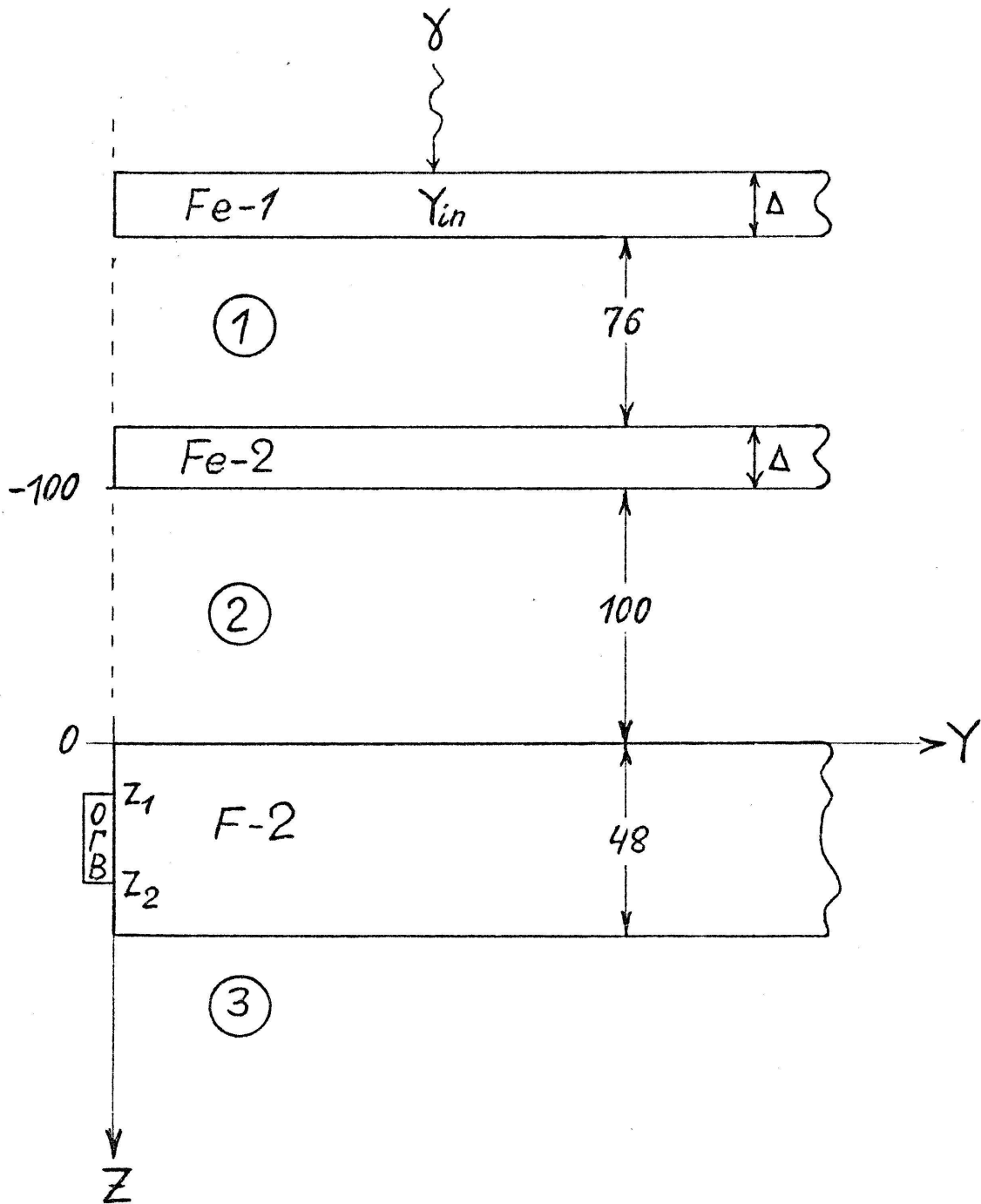


Рис. 4. Схематическое представление фотонного детектора для моделирования. Размеры - в см.

тому предполагалось, что среды 1,2 (и 3) - это вакуум.

Сборка из блоков стекла представлена сплошной полуплоскостью толщиной 48 см ( $\sim 15X_0$ ). ОГВ задано слоем толщиной 2,4 см и глубиной 20 см ( $Z_2 = Z_1 + 20$ ).

Чтобы ясно выявить эффект добавления ОГВ к черенковскому ЭМ калориметру и влияние конверторов, процесс моделирования был разделен на следующие этапы.

- 1) Определение оптимальной толщины конверторов.
- 2) Определение зависимости разрешения от координаты падения  $\gamma$ -кванта для калориметра только из стекла F-2.
- 3) То же самое для калориметра из F-2 с добавленным ОГВ, предварительно определив оптимальное  $Z_1$ .
- 4) То же, что в п.2, но с предшествующими конверторами.
- 5) Фотонный детектор в целом - то же, что в п.3, но с предшествующими конверторами.

Все расчеты проводились на ЭВМ ЕС-1066 НИИЯФ.

При моделировании на ЭВМ ЭМ ливней при энергиях в десятки и сотни ГэВ серьезной проблемой становится время моделирования, которое при энергии  $E_\gamma = 100$  ГэВ может составлять на ЕС-1066 величину  $\sim 220$  сек для одного ливня, что для 300 событий даст  $T_{300} = 18$  час.

Время генерации ливня существенно зависит от используемых в EGS в качестве параметров энергетических порогов  $E_{cut}^e$  и  $E_{cut}^\delta$ , регулирующих процедуру прослеживания. При достижении электроном (фотоном) энергии меньше  $E_{cut}^e$  ( $E_{cut}^\delta$ ), трассировка для него прекращается, а его энергия полностью выделяется в последней точке траектории.

Интенсивность черенковского излучения на 1 см пробега определяется выражением  $n_\phi = 490 \sin^2 \theta_c = 490 \left(1 - \frac{1}{(\beta n)^2}\right)$ , нормированный график которого для стекла F-2 приведен на рис.5. Очевидно,

что обрезание  $E_{cut}^e$  должно быть больше энергетического порога черенковского излучения  $E_{пор.} = 0,65$  МэВ.

Соответствующее обрезание для фотонов  $E_{cut}^\delta$  можно определить как энергию  $E_K^\delta$ , при которой энергия электрона отдачи при комптоновском рассеянии назад равна  $E_{cut}^e$ . Эти величины связаны выражением

$$E_K^\delta = \frac{1}{2} \left[ E_{cut}^e - m_e + p_{cut}^e \right]. \quad (3)$$

При обрезании  $E_{cut}^e = 0,7$  МэВ получим  $E_{cut}^\delta = 0,3$  МэВ. Однако, эти пороги еще слишком малы с практической точки зрения, ибо при  $E_\gamma = 5$  ГэВ время генерации на ЕС-1066 одного ливня составляет 11 сек, следовательно, для 300 событий (минимальная статистика для определения разрешения) - ~1 часа процессорного времени. Желательно уменьшить это время в 2-3 раза без ущерба для результатов.

Поэтому была изучена зависимость от обрезаний  $E_{cut}^{e,\delta}$  основных величин нашей задачи:

$E_a$  - поглощенной энергии (в % к  $E_\gamma$ );

$\frac{N_\varphi}{E_\gamma}$  - суммарного числа черенковских фотонов, отнесенного ко входной энергии;

$\delta = \frac{\sigma_N}{N_\varphi}$  - энергетического разрешения калориметра;

$\tau$  - времени генерации одного ливня.

Моделирование проводилось для бесконечной полуплоскости из стекла F-2 толщиной 48 см. Гамма-квант с энергией 5 ГэВ падал на стекло на расстоянии 100 см от края, генерировалось по 300 ливней. При этом получены следующие результаты.

При фиксированном  $E_{cut}^e = 1,0$  МэВ и изменении  $E_{cut}^\delta$  от 0,1 до 1,0 МэВ величины  $E_a$ ,  $\frac{N_\varphi}{E_\gamma}$  и  $\delta$  не менялись, оставаясь на уровне

$$E_a = (95,2 \pm 0,3)\%,$$

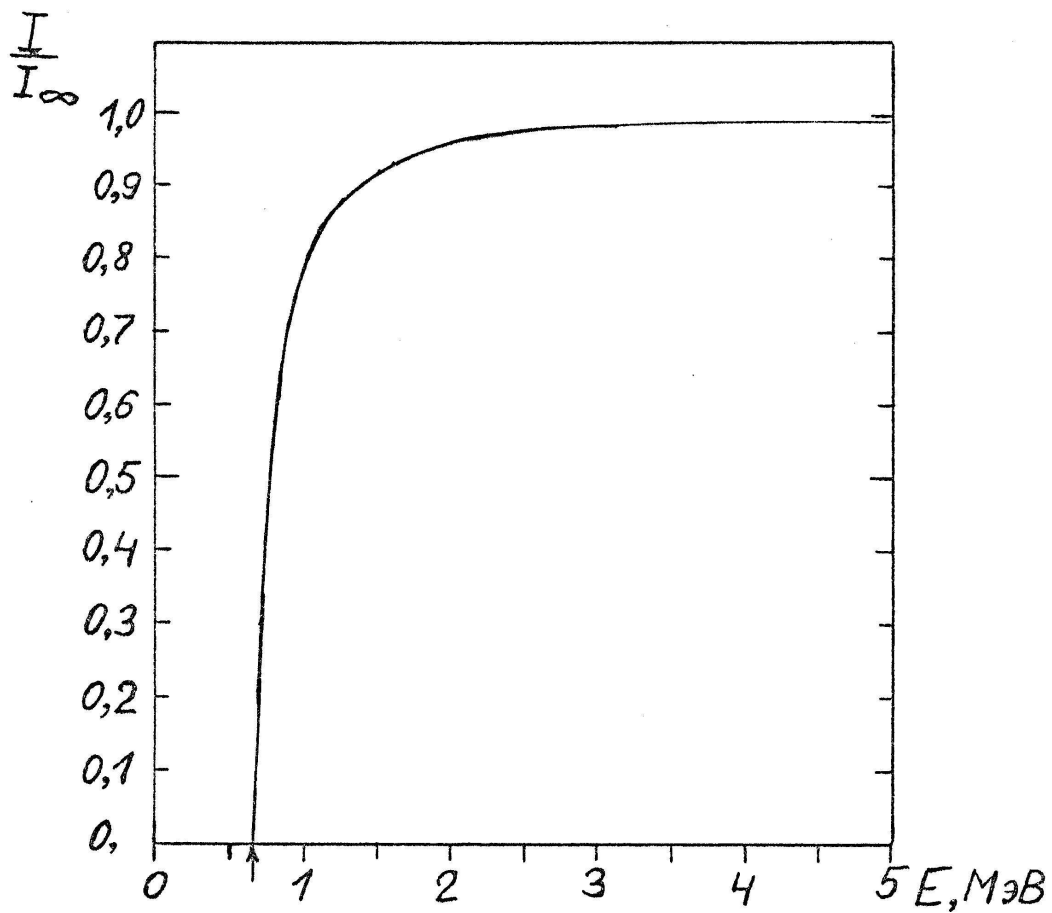


Рис.5. Нормированная зависимость интенсивности черенковского излучения в стекле F-2 от энергии электрона. Стрелкой указан порог в 0.65 МэВ.

$$\frac{N_{\varphi}}{E_{\gamma}} = (46,6 \pm 0,1) \text{ МэВ}^{-1},$$
$$\delta = (2,0 \pm 0,1)\%$$

При этом  $\tau$  уменьшалось всего на 10%.

При фиксированном  $E_{cut}^{\delta} = 0,3$  МэВ и изменении  $E_{cut}^e$  от 0,7 до 5,0 МэВ величины поглощенной энергии не менялись, оставаясь на уровне  $E_a = (95,2 \pm 0,3)\%$ . Изменение остальных величин представлено в табл. I. Видно монотонное убывание  $\frac{N_{\varphi}}{E_{\gamma}}$ . Разрешение не зависит от обрезаний при  $E_{cut}^e \leq 2,5$  МэВ, а при  $E_{cut}^e > 2,5$  МэВ ухудшается на  $\sim 30\%$ . Время генерации резко падает при переходе от  $E_{cut}^e = 0,7$  к 1,5, а потом убывает более медленно.

При одновременном изменении  $E_{cut}^e$  и  $E_{cut}^{\delta}$  в соответствии с соотношением (3) картина несколько меняется - см. табл. 2 и рис. 6. Поглощение  $E_a$  при  $E_{cut}^e > 2,5$  МэВ слегка возрастает, ухудшается разрешение при  $E_{cut}^e = 5,0$  МэВ. Из данных табл. I и 2 видно, что приемлемой является область  $E_{cut}^e \leq 2,5$  МэВ, где стабильны разрешение и доля поглощенной энергии. Ограничив себя 20% потерей черенковского света (рис. 6а), выберем  $E_{cut}^e = 1,5$  МэВ для  $E_{\gamma} = 5$  ГэВ и 2,5 МэВ для  $E_{\gamma} = 10$  ГэВ. При этом выигрыш во времени составит 2,5 раза (табл. 2). При  $E_{\gamma} = 50$  и 100 ГэВ использовались  $E_{cut}^e = 10^{-4} E_{\gamma}$ , т.е. 5 и 10 МэВ соответственно, согласно рекомендациям работы [2].

Такие же значения  $E_{cut}^e$  использовались для железа и ОГВ.

#### 4. Определение оптимальной толщины конверторов

##### $\gamma$ -квантов

При выборе толщины  $\Delta$  пластин конвертора надо найти оптимум, соответствующий достаточно высокой вероятности срабатывания ДШИ (вероятности конверсии  $\gamma$ -кванта в пару) при минимальной толщине  $\Delta$ . Ибо, чем  $\Delta$  больше, тем меньшая часть энергии ливня выделяется в ЭМ калориметре, что ухудшает его энергетическое разрешение.

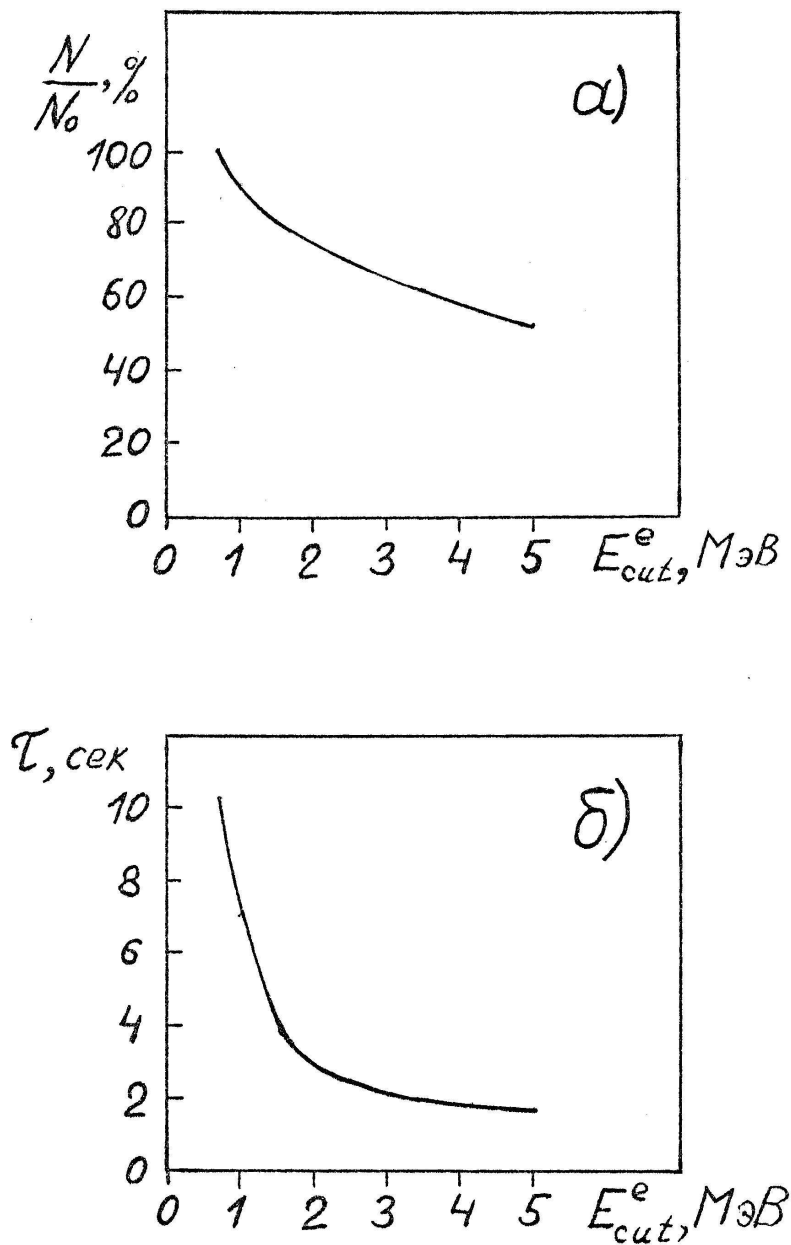


Рис.6. а) Зависимость суммарной интенсивности черенковского излучения ливня, вызываемого  $\gamma$ -квантом с энергией 5 ГэВ в стекле F-2, от энергии обрезания. Интенсивность нормирована на 100% при обрезании 0.7 МэВ, равном порогу черенковского излучения. б) Зависимость времени моделирования одного ливня на ЕС-1066 ( $E_\gamma = 5$  ГэВ) от энергии обрезания.

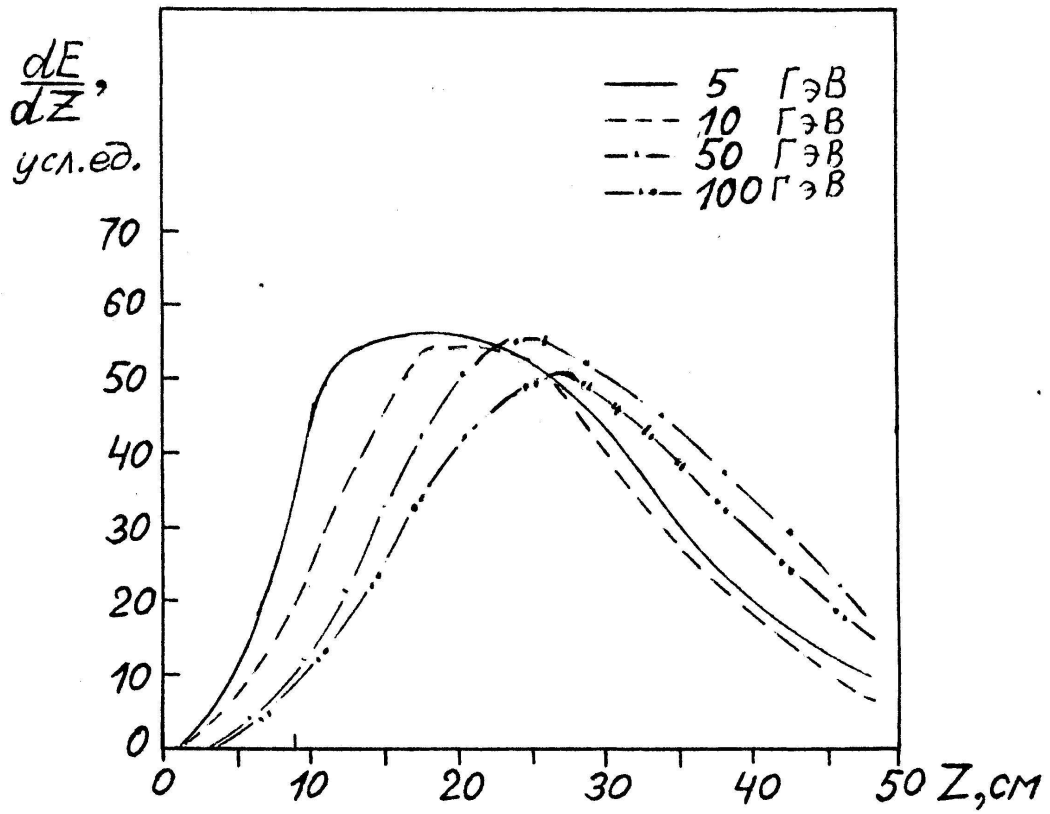


Рис.7. Продольные профили ливней в стекле F-2 толщиной 48 см при указанных энергиях  $\gamma$ -квантов.

Моделирование производилось по схеме, приведенной на рис.4 (с  $Y_{in} = 2 R_M$ ), но прослеживание ливня прекращалось на границе стекла ( $Z = 0$ ).

Из характера продольных профилей ливней, приведенных на рис.7, следует, что суммарная толщина конверторов  $2\Delta$  должна быть не более  $3X_0$  (9 см стекла, ~5 см железа), чтобы максимум ливня при 5 ГэВ оставался в стекле. Поэтому при моделировании брались такие толщины конверторов:  $\Delta = 0,9; 1,8$  и  $2,5$  см, что соответствовало  $2\Delta = 1X_0, 2X_0$  и  $2,8X_0$  ( $X_0 = 1,76$  см для железа). Поскольку ДШИ имеет порог 2,5 ГэВ для регистрации электронов, то при моделировании  $N_0$  ливней подсчитывались числа таких событий:

$N_i$  - число ливней с наличием  $e^\pm$  с  $E > 2,5$  ГэВ только в  $i$ -ом промежутке ( $i = 1, 2$ );

$N_{1+2}$  - число ливней с наличием таких  $e^\pm$  в обоих промежутках;

$N_{1/2} = N_1 + N_2 + N_{1+2}$  - число ливней с наличием таких  $e^\pm$  хотя бы в одном промежутке (одной секции ДШИ).

В табл.3 и на рис.8-10 приведены в зависимости от  $\Delta$  вероятности  $P_j = \frac{N_j}{N_0}$  ( $j = 1, 2, 1+2, 1/2$ ) и величина  $\eta = \frac{P_{1+2}}{P_{1/2}}$ . На основе представленных результатов можно сделать следующие выводы.

1) Эффективность срабатывания ДШИ -  $P_{1/2}$  - для толщин  $\Delta = 1,8$  и  $2,5$  см растет во всем диапазоне энергий от 5 до 100 ГэВ (рис.9). Для  $\Delta = 0,9$  см  $P_{1/2}$  практически постоянно на уровне  $\sim 0,6$  в диапазоне 10-100 ГэВ, а для 5 ГэВ меньше всего на 1/3, т.е. за выигрыш в эффективности ДШИ на фактор 1,5 для  $\Delta \geq 1,8$  см при  $E_\gamma \geq 50$  ГэВ приходится расплачиваться неоднородностью эффективности ДШИ в диапазоне 5-100 ГэВ, выраженной фактором 2,5.

2) Доля одновременного срабатывания двух секций  $\eta$  при  $E_\gamma = 5$  и 10 ГэВ выше для  $\Delta = 0,9$  см (рис.10), уступая более толстым конверторам лишь при  $E_\gamma = 100$  ГэВ - на хвосте спектра  $\gamma$ -квантов.

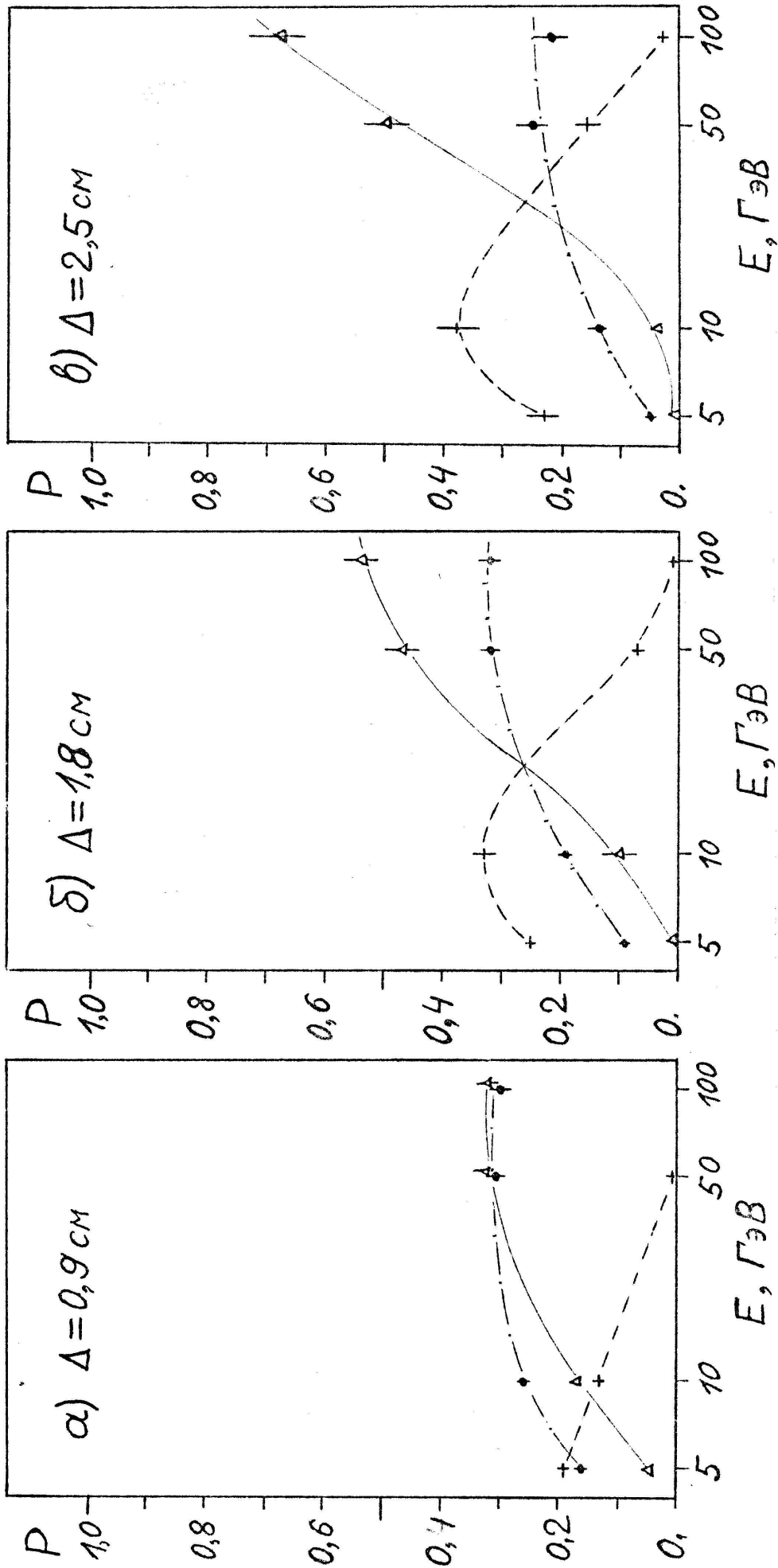


Рис.8. Зависимость вероятностей  $P_1(+)$ ,  $P_2(\cdot)$  и  $P_{1+2}(\Delta)$  от энергии  $\gamma$ -квантов  $E$  при различных толщинах конверторов  $\Delta$ . Кривые проведены на глаз для удобства.

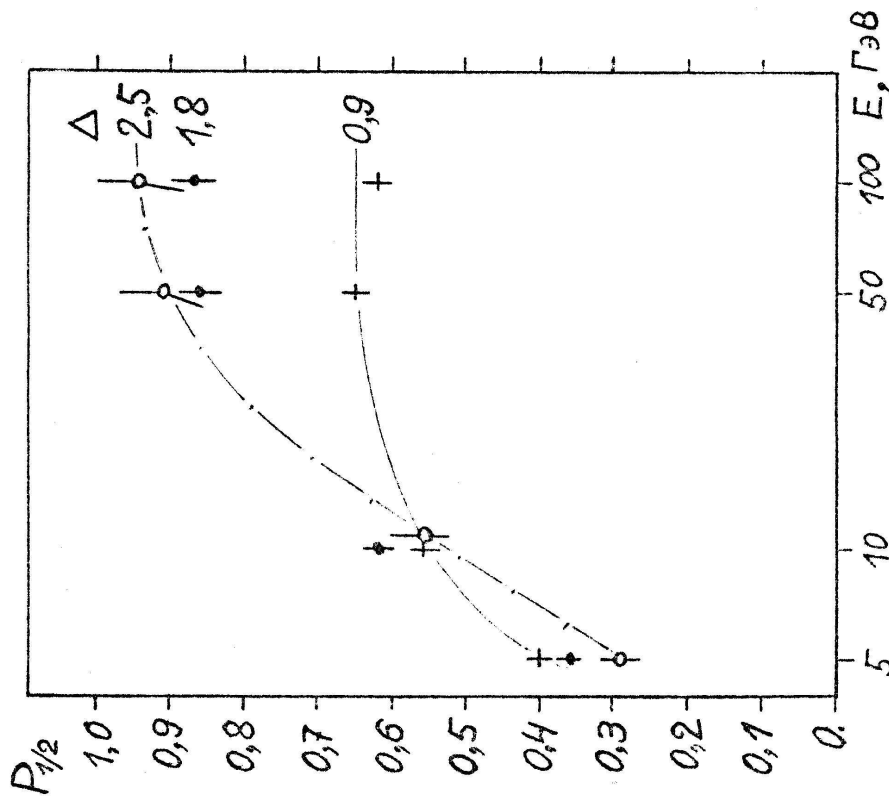


Рис.9. Зависимость от энергии  $\gamma$ -квантов вероятности срабатывания ДИ  $P_{1/2}$  при разных толщинах конверторов :  
 +  $\Delta = 0.9$  см, •  $\Delta = 1.8$  см,  
 o  $\Delta = 2.5$  см.

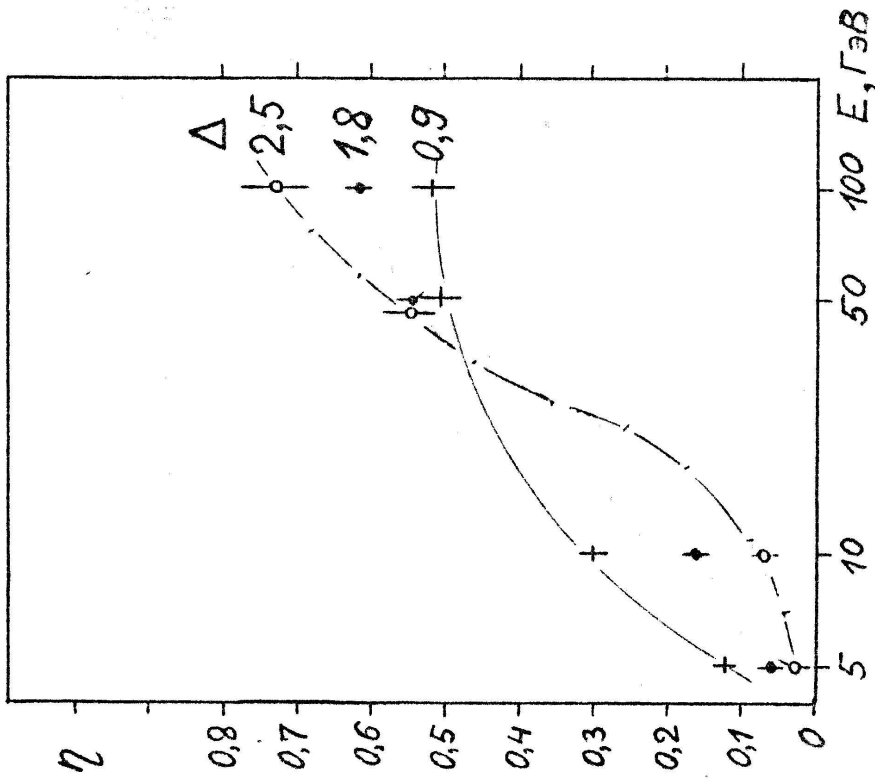


Рис.10. Зависимость от энергии  $\gamma$ -квантов относительной доли одновременного срабатывания двух секций ДИ при разных толщинах конверторов  $\Delta$ .

3) Кроме того, расчеты ЭМК с конверторами показали, что при энергии  $E_\gamma = 5$  ГэВ энергетическое разрешение составляет  $(2,4 \pm 0,2)\%$  при  $\Delta = 0,9$  см и  $(19,7 \pm 1,3)\%$  при  $\Delta = 2,5$  см (в обоих случаях  $Y_{in} = 2R_M$ ).

Все три приведенных аргумента свидетельствуют в пользу выбора толщины конвертора  $\Delta = 0,9$  см. Эта величина и использовалась в дальнейших расчетах.

### 5. Обсуждение результатов моделирования

Было промоделировано четыре варианта ЭМ калориметра в порядке приближения по сложности к фотонному детектору. При моделировании изучалось поведение следующих величин: доли энергии ливня  $E_\alpha$  (в процентах к  $E_\gamma$ ), поглощенной в калориметре в целом; поглощенной отдельно в стекле -  $E_\alpha(F-2)$  и в ОГВ -  $E_\alpha(OГВ)$ ; доли энергии, поглощенной конвертором (С); утечек-боковых (S) и вперед (F); энергетического разрешения  $\delta = \sigma_N / \bar{N}_\varphi$ .

Сигнал ЭМ калориметра определяется суммарным числом фотонов  $N_\varphi$ . Для сцинтиллятора  $N_\varphi = E_\alpha / \bar{w}$ , где  $\bar{w} = 250$  эв для ОГВ (см. [1]). В случае черенковского калориметра сигнал определяется суммарным черенковским светом  $N_\varphi = 490 [1 - (\beta n)^{-2}] \cdot L$ , где  $L$  - суммарный пробег всех  $e^\pm$  ливня в стекле (с энергиями выше порога излучения). Т.к. световыход в ОГВ на 2 порядка выше, чем в стекле  $F-2$ , то суммарный сигнал с комбинированного калориметра нужно брать в виде

$$N_\varphi^\Sigma = N_\varphi^{OГВ} + f \cdot N_\varphi^{F-2}, \quad (4)$$

где  $f$  - фактор, определенный нами из естественного условия  $\frac{f \cdot N_\varphi^{F-2}}{N_\varphi^{OГВ}} = \frac{E_\alpha(F-2)}{E_\alpha(OГВ)}$  для ливней от  $\gamma$ -квантов, падающих на границу  $F-2$  и ОГВ. Для величины  $f$  получено значение

$f = 100$ , которое и использовалось в дальнейших расчетах. Использование выражения (4) с  $f \neq 1 (\gg 1)$  существенно сказывается на разрешении комбинированного калориметра. Например, при  $E_\gamma = 5$  ГэВ и  $Y_{in} = 0,1$  см разрешение ухудшается в  $\sim 9$  раз при использовании в (4)  $f = 1$  вместо  $f = 100$ .

Так как распределение отклика калориметра  $N_\varphi^\Sigma$  (или  $N_\varphi^{F-2}$ ) имеет несимметричную форму, то оно фитировалось, как и в [1], несимметричной гауссовой формой (2) из [1], а затем вычислялось  $\sigma_N = FWHM / 2,355$ . А собственно энергетическое разрешение определялось как  $\delta = \sigma_N / N_\varphi$ .

Результаты моделирования ЭМ калориметра из слоя стекла  $F-2$  толщиной 48 см приведены в табл. 4 и точками (.) на рис. II-14 ж). Вплоть до  $Y_{in} = 1$  см у него доминируют боковые утечки (полные утечки  $\gtrsim 20\%$ ). На расстоянии  $Y_{in} \gtrsim R_M = 3,9$  см доминируют утечки вперед, растущие с энергией. Это отражается в резком убывании поглощенной энергии  $E_a$  при приближении к краю при всех энергиях (рис. 11 и 12). Резкое убывание  $E_a$  приводит к соответствующему разному ухудшению разрешения на краю - рис. 13 и 14. Поскольку степень коллимации ливня растет с его энергией, то область низкого разрешения на краю плоскости сужается с ростом энергии. Но при энергиях 5 и 10 ГэВ эта область составляет  $\sim 1$  см.

Введение перед стеклом конвертора (табл. 5) уменьшает поглощенную энергию и ухудшает разрешение. Но эффект проявляется в основном при низких энергиях (ибо при  $E_\gamma = 50$  и 100 ГэВ конвертор поглощает меньше 0,1% энергии ливня), и на краю - за счет промаха мимо плоскости стекла части частиц ливня, зародившегося в конверторе.

---

ж) При совпадении данных приоритет на рисунках отдан (+), затем (•), При  $Y_{in} < 0$  нет конвертора, поэтому отсутствуют данные (x), а данные (+) и (o) совпадают.

Для комбинированного калориметра из стекла и слоя ОГВ сначала находилась оптимальная  $Z_1$  -координата слоя ОГВ - см. табл.6. Из представленных данных (хотя зависимости  $E_a$  и  $\delta$  от  $Z_1$  являются слабо выраженными) следует, что требованию максимальной поглощенной энергии и лучшего разрешения удовлетворяет выбор  $Z_1 = 14$  см. С этим значением  $Z_1$  были получены результаты, представленные в табл.7 и обозначенные (o) на рис.11-14.

Видно, что добавление слоя ОГВ к торцу стекла привело к резкому возрастанию  $E_a$  вблизи границы  $Y_{in} = 0$  при всех энергиях  $\gamma$ -квантов и к соответствующему заметному улучшению разрешения. В точке  $Y_{in} = 0,1$  см разрешение при 5 ГэВ меняется с  $(19 \pm 2)\%$  на  $(3,0 \pm 0,2)\%$ , а при 10 ГэВ - с  $(14 \pm 1)\%$  на  $(2,7 \pm 0,3)\%$ , т.е. улучшается соответственно в 6 и 5 раз.

При моделировании фотонного детектора (ФД) как целого (рис.4) было проведено уточнение оптимального положения слоя ОГВ (в силу поглощения части энергии в конверторе) - см. табл.8, и выбрано оптимальное значение  $Z_1 = 14$  см. Результаты для ФД представлены в табл.9 и обозначены (+) на рис.11-14.

Поскольку ФД представляет собой вариант  $F-2 + \text{ОГВ}$  с добавлением конвертора, то для него характерны все особенности варианта  $F-2 + \text{ОГВ}$ , проявляющиеся в резком улучшении разрешения при  $Y_{in}$  вблизи нуля.

Представленные на рис.13 и 14 и в табл.10 данные для ФД свидетельствуют, что он имеет высокое разрешение для расстояний  $Y_{in} \gtrsim 1,4$  см при энергиях 5 и 10 ГэВ и для расстояний  $Y_{in} \gtrsim 1,9$  см при энергиях 50 и 100 ГэВ (исключая область от 0. до 1 см).

На рис.15 и 16 сопоставляются зависимости поглощенной энергии и разрешения различных вариантов калориметров от расстояния падающего  $\gamma$ -кванта от края калориметра.

## 6. Итоги работы и выводы

Путем математического моделирования изучены свойства комбинированного черенковско-сцинтилляционного ЭМ калориметра для регистрации  $\gamma$ -квантов с энергиями от 5 до 100 ГэВ.

1. Исходя из оптимальности работы детектора переходного излучения определена оптимальная толщина пластин конвертора  $\Delta = 0,9$  см. Конвертор такой толщины практически не сказывается на разрешении фотонного детектора.

2. Определено оптимальное положение слоя ОГВ, исходя из максимума разрешения и эффективности ЭМ калориметра.

3. Проведено моделирование четырех вариантов ЭМ калориметров, что позволило отдельно проследить влияние добавления к F-2 калориметру слоя ОГВ и конвертора.

4. Показана необходимость формирования сигнала с комбинированного калориметра согласно выражению (4) с фактором 100, усиливающим вклад черенковского калориметра.

5. Показано, что благодаря слою ОГВ фотонный детектор имеет высокое разрешение вплоть до самой границы стекла.

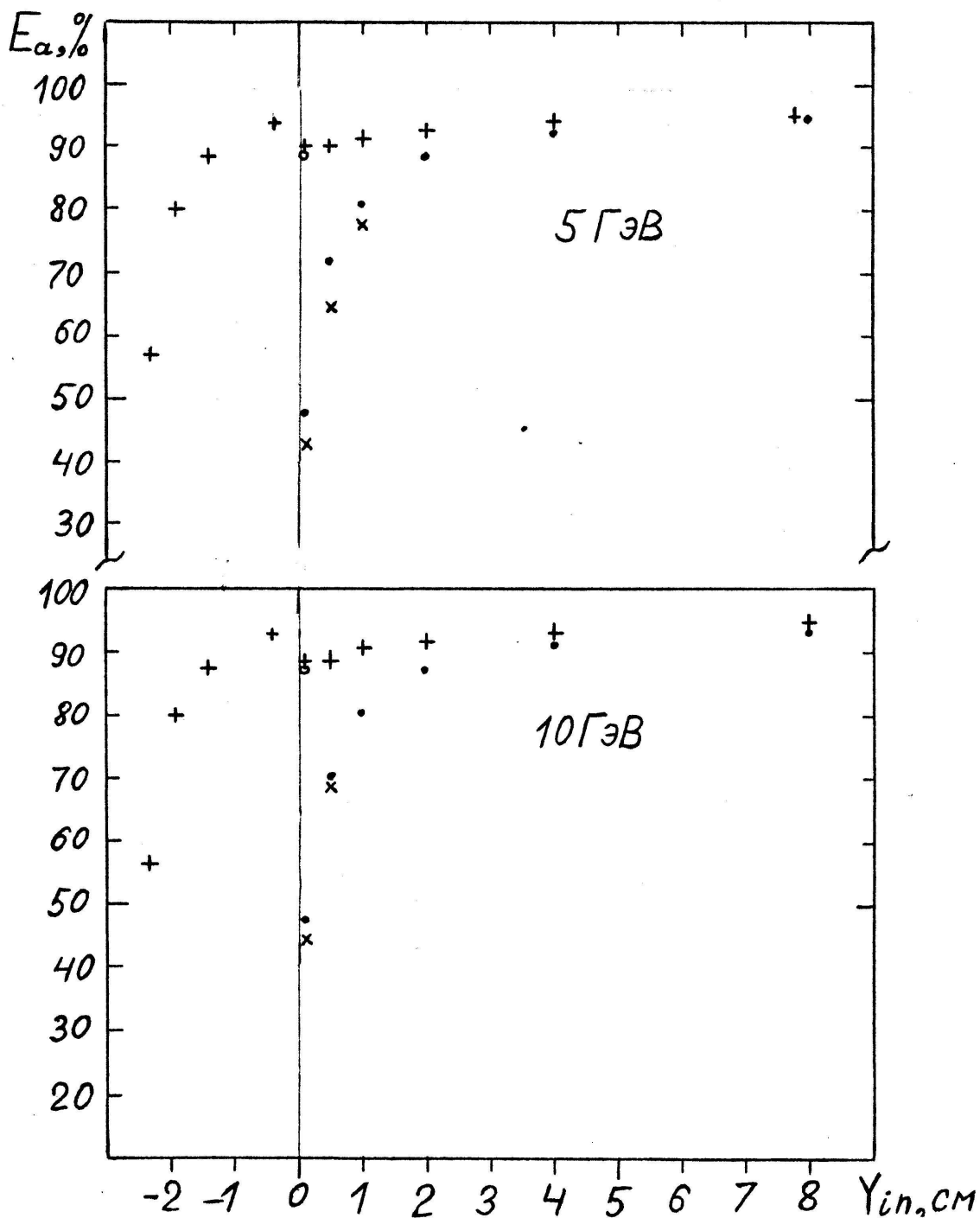


Рис. II. Зависимость поглощенной в ЭМ калориметрах энергии  $E_a$  (в % к  $E_\gamma$ ) от координаты падения  $\gamma$ -квантов  $Y_{in}$  для энергий  $E_\gamma = 5$  и  $10$  ГэВ.

Варианты калориметров:

- - из стекла F-2;
- x - из стекла F-2 с конверторами;
- - из стекла F-2, дополненного слоем ОГВ;
- + - фотонный детектор в целом (см. рис. 4).

Тонкой линией при  $Y_{in} = 0$  обозначена граница между стеклом и ОГВ.

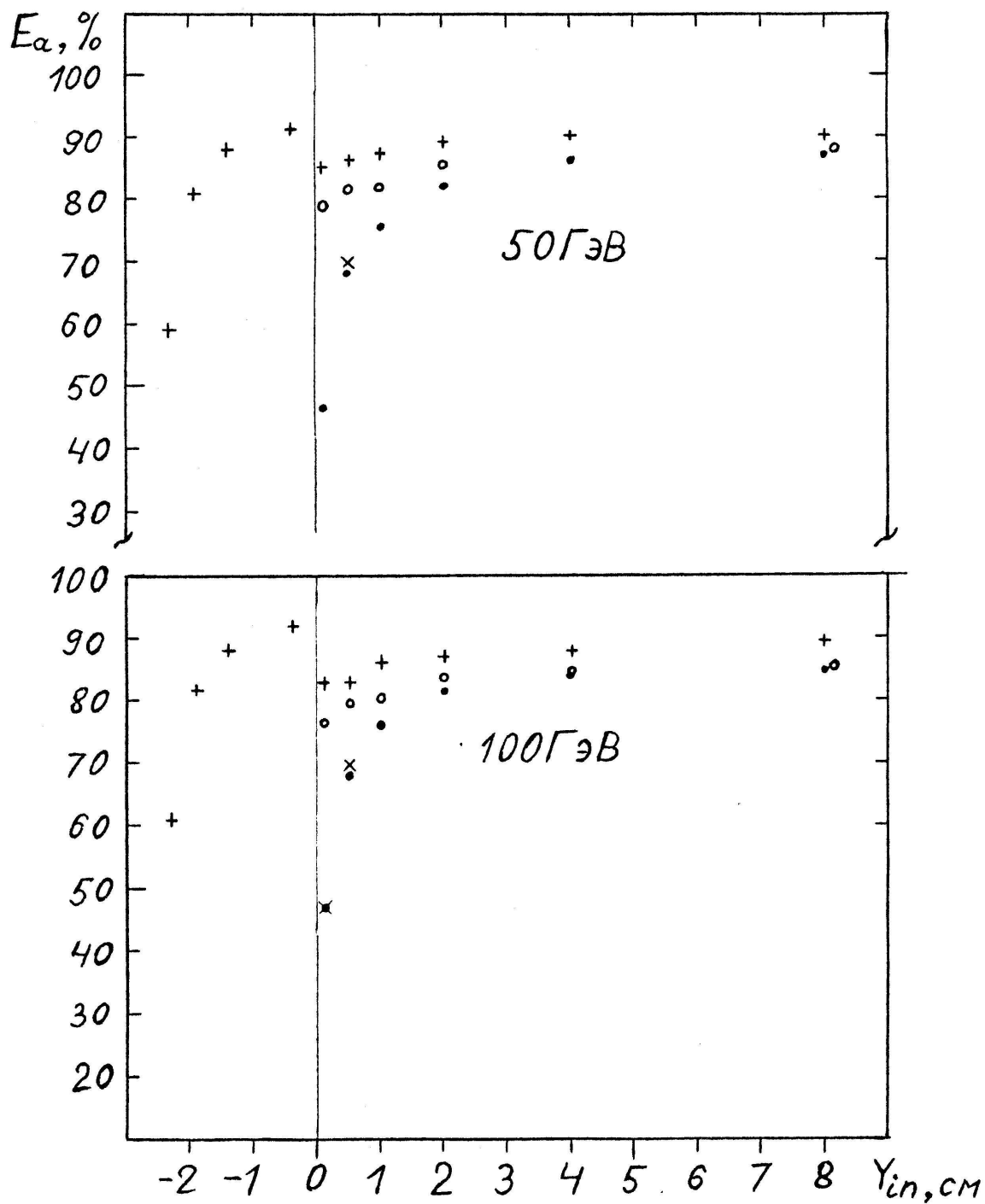


Рис. 12. То же, что на рис. 11, но для энергий  $E_\gamma = 50$  и  $100$  ГэВ.

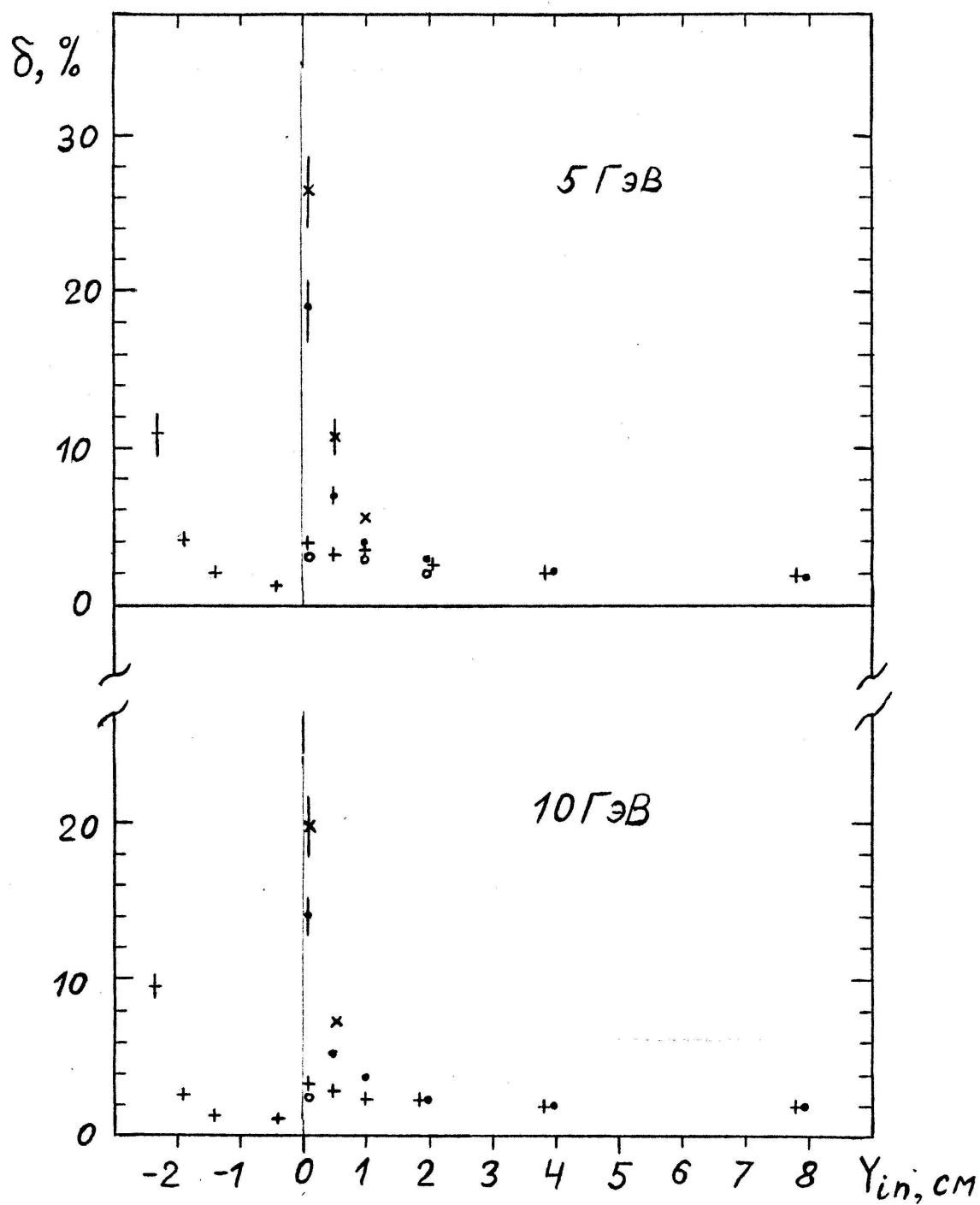


Рис. 13. Зависимость энергетического разрешения  $\delta$  ЭМ калориметров от координаты падения  $\gamma$ -квантов  $Y_{in}$  для энергий  $E_\gamma=5$  и 10 ГэВ. Обозначения - как на рис. II.

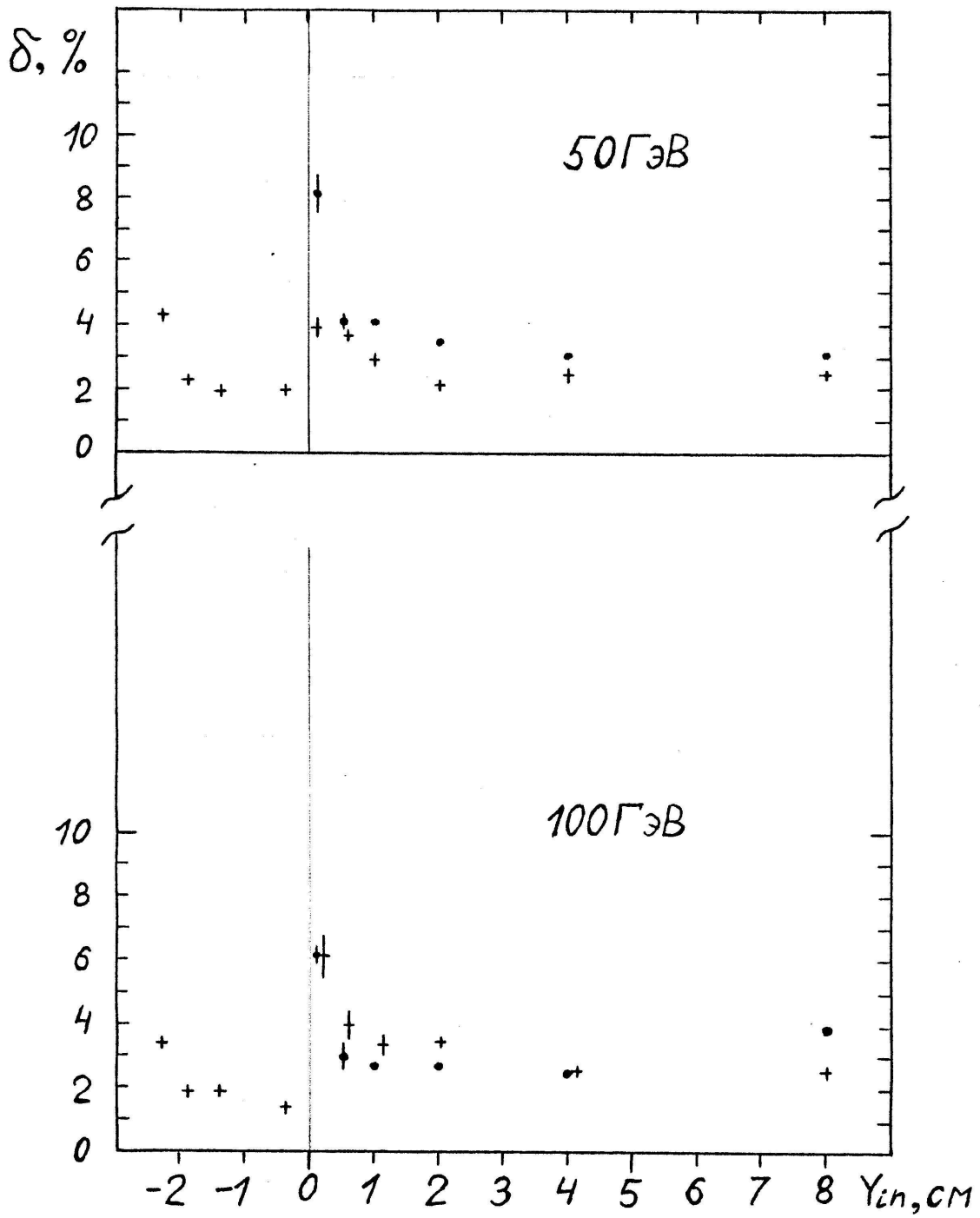


Рис.14. То же, что на рис.13, но для энергий  $E_\gamma = 50$  и 100 ГэВ.

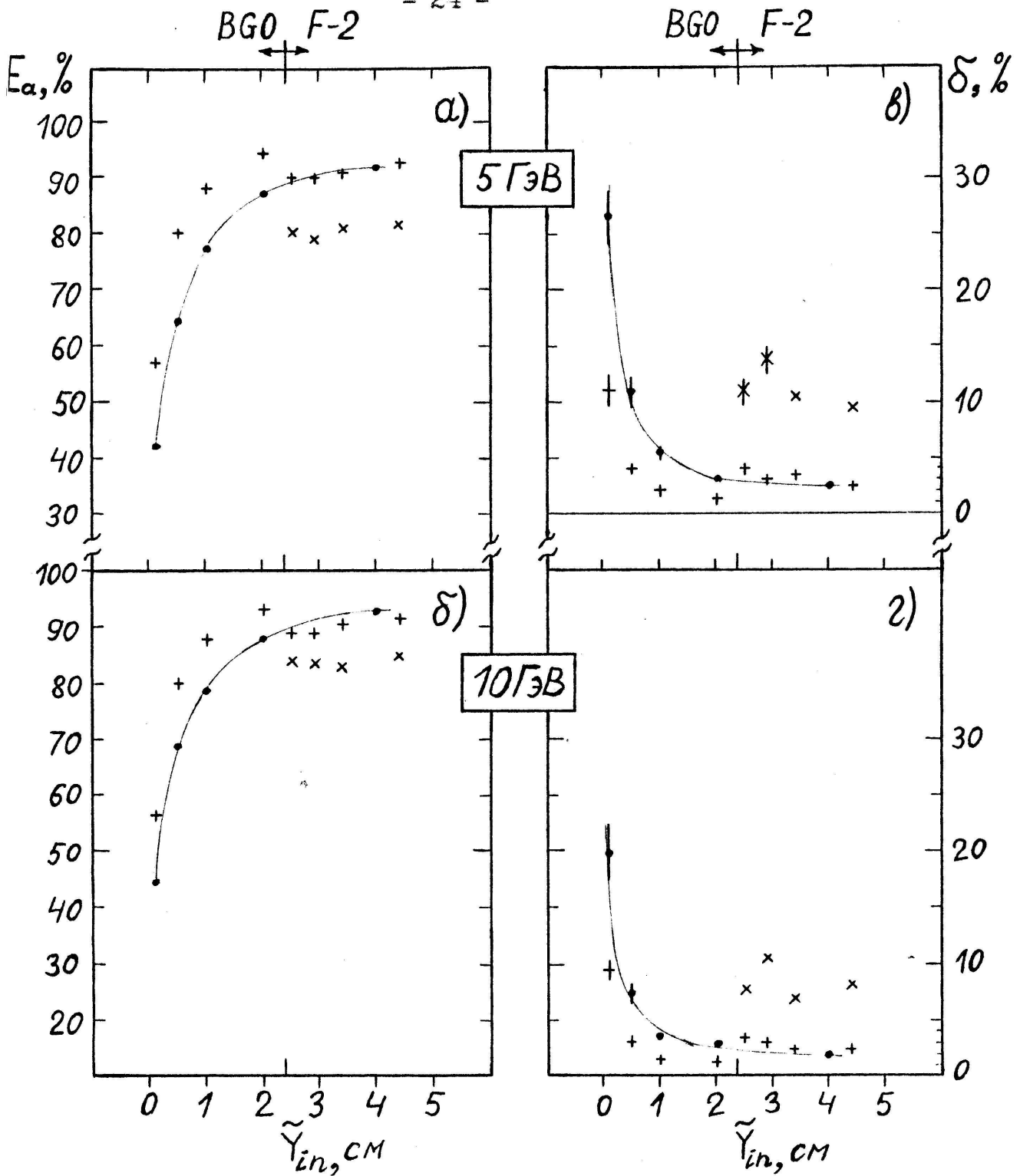


Рис. 15. Зависимость поглощенной энергии  $E_a$  ( а ) и б ), в % к  $E_\gamma$  ) и разрешения calorиметров  $\delta$  ( в ) и г ) от расстояния  $\tilde{Y}_{in}$  от края calorиметров:

$$\tilde{Y}_{in} = Y_{in} + 2,4 \quad \text{для calorиметров с ОГВ,}$$

$$\tilde{Y}_{in} = Y_{in} \quad \text{в остальных случаях.}$$

- Обозначения: + - ФД с  $\Delta = 0,9$  см,  
 x - ФД с  $\Delta = 2,5$  см,  
 o - ФД с  $\Delta = 0$ ,  
 • - F-2 плюс конвертор с  $\Delta = 0,9$  см.

Данные + и o при этих энергиях совпадают, оставлены + .

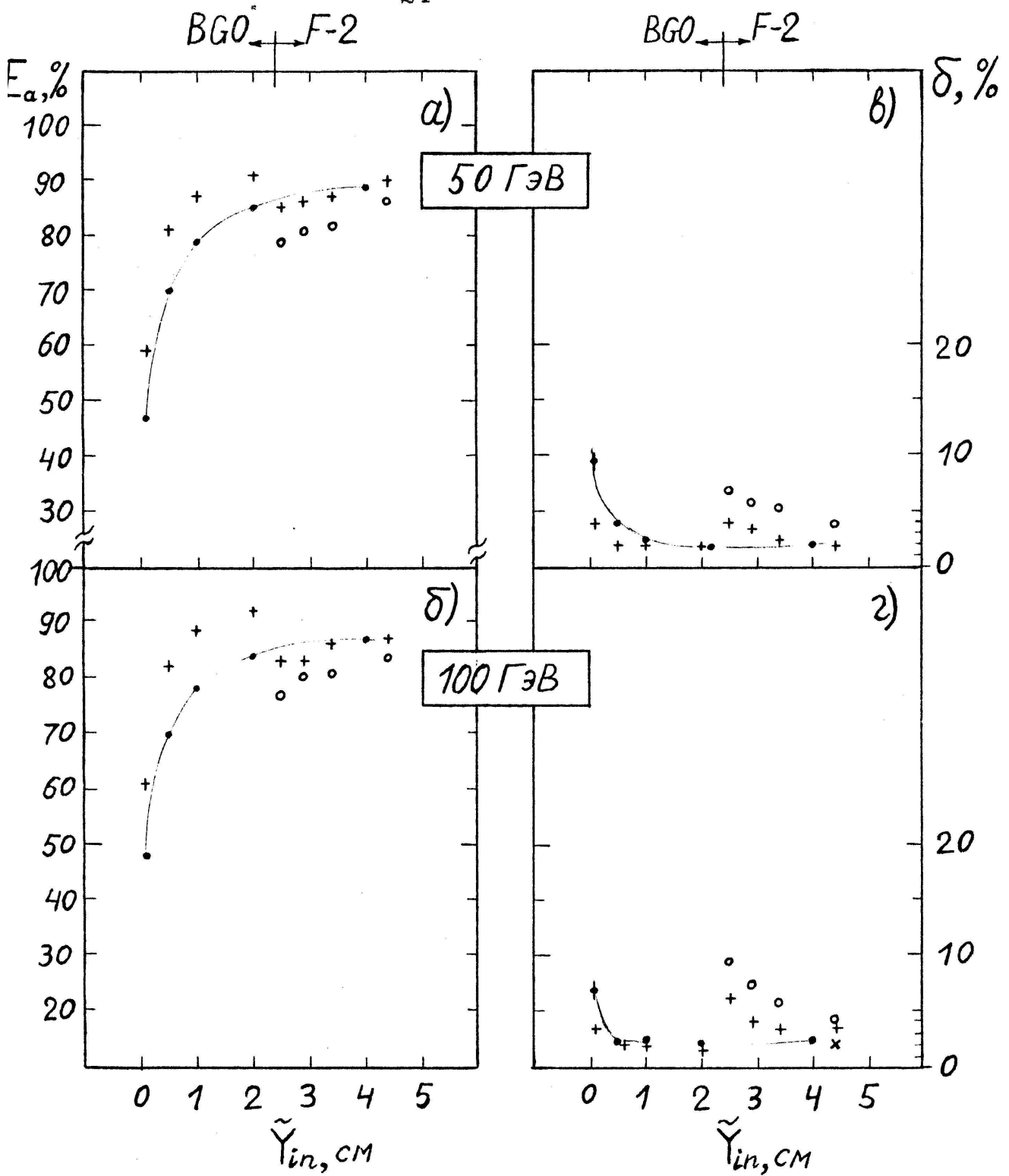


Рис. 16. То же, что и на рис. 15, но для энергий  $E_{\gamma} = 50$  и 100 ГэВ. Данные \* и + при этих энергиях совпадают, оставлены +.

Л И Т Е Р А Т У Р А

1. Коржавина И.А., Рудь В.И. Отчет по хоздоговору № I4I-88, часть I. НИИЯФ МГУ, 1989г.
2. Аматуни Ц.А. Кандидатская диссертация. ИФВЭ, Серпухов, 1985г.

Таблица 1

Зависимость параметров ливня (в стекле F-2 толщиной 48 см) от  $E_{cut}^e$  при фиксированном  $E_{cut}^\delta = 0,3$  МэВ.

$E_{cut}^e$ , МэВ	$\frac{N_\varphi}{E_\gamma}$ , МэВ <sup>-1</sup>	$\delta = \frac{\sigma_N}{N_\varphi}$ , %	$\tau$ , сек
0,7	53,5±0,2	2,0±0,1	11,3
1,5	42,9±0,2	2,1±0,2	4,3
2,5	37,5±0,2	2,1±0,1	2,9
3,5	33,5±0,2	2,5±0,1	2,6
5,0	28,1±0,2	2,6±0,1	2,2

Таблица 2

Зависимость параметров ливня в стекле F-2 от  $E_{cut}^e$  и  $E_{cut}^\delta$ .

$E_{cut}^e$ , МэВ	$E_{cut}^\delta$ , МэВ	$E_a$ , %	$\frac{N_\varphi}{E_\gamma}$ , МэВ <sup>-1</sup>	$\delta = \frac{\sigma_N}{N_\varphi}$ , %	$\tau$ , сек
0,7	0,3	95,2±0,3	53,5±0,2	2,0±0,1	11,3
1,0	0,7	95,3±0,3	48,5±0,2	1,8±0,1	7.
1,5	1,2	95,3±0,3	43,5±0,2	1,8±0,1	3,8
2,5	2,2	95,5±0,3	37,5±0,2	2,2±0,1	2,5
3,5	3,2	96,1±0,3	33,2±0,2	2,2±0,6	2,0
5,0	4,7	96,3±0,3	27,9±0,2	3,0±0,2	1,7

Таблица 3

Зависимость от энергии  $\gamma$ -квантов  $E_\gamma$  вероятностей регистрации ливней в разных секциях ДШИ при различной толщине конверторов.

$E_\gamma$ , ГэВ	$P_1$	$P_2$	$P_{1+2}$	$P_{1/2}$	$\eta = \frac{P_{1+2}}{P_{1/2}}$
Толщина конвертора $\Delta = 0,9$ см, $N_0 = 1200$					
5.	$0,19 \pm 0,01$	$0,16 \pm 0,01$	$0,05 \pm 0,01$	$0,40 \pm 0,02$	$0,12 \pm 0,02$
10.	$0,13 \pm 0,01$	$0,26 \pm 0,01$	$0,17 \pm 0,01$	$0,56 \pm 0,02$	$0,30 \pm 0,02$
50.	$0,01 \pm 0,003$	$0,31 \pm 0,02$	$0,33 \pm 0,02$	$0,65 \pm 0,02$	$0,51 \pm 0,03$
100.	$0,003 \pm 0,002$	$0,30 \pm 0,02$	$0,32 \pm 0,02$	$0,62 \pm 0,02$	$0,52 \pm 0,03$
Толщина конвертора $\Delta = 1,8$ см, $N_0 = 1200$					
5.	$0,25 \pm 0,01$	$0,09 \pm 0,01$	$0,012 \pm 0,003$	$0,36 \pm 0,02$	$0,06 \pm 0,02$
10.	$0,33 \pm 0,02$	$0,19 \pm 0,01$	$0,10 \pm 0,03$	$0,62 \pm 0,02$	$0,16 \pm 0,02$
50.	$0,07 \pm 0,01$	$0,32 \pm 0,02$	$0,48 \pm 0,03$	$0,86 \pm 0,03$	$0,55 \pm 0,02$
100.	$0,008 \pm 0,002$	$0,32 \pm 0,02$	$0,54 \pm 0,03$	$0,87 \pm 0,03$	$0,62 \pm 0,02$
Толщина конвертора $\Delta = 2,5$ см, $N_0 = 300$					
5.	$0,23 \pm 0,03$	$0,05 \pm 0,01$	$0,01 \pm 0,01$	$0,29 \pm 0,03$	$0,03 \pm 0,02$
10.	$0,38 \pm 0,04$	$0,14 \pm 0,02$	$0,04 \pm 0,01$	$0,56 \pm 0,04$	$0,07 \pm 0,02$
50.	$0,16 \pm 0,02$	$0,25 \pm 0,03$	$0,51 \pm 0,04$	$0,91 \pm 0,06$	$0,55 \pm 0,04$
100.	$0,03 \pm 0,01$	$0,22 \pm 0,03$	$0,68 \pm 0,05$	$0,94 \pm 0,06$	$0,73 \pm 0,05$

Таблица 4

Зависимость параметров ливней в стекле F-2  
от координаты падения  $\gamma$ -квантов  $Y_{in}$ .

$Y_{in},$ см	$E_a, \%$	$\delta, \%$	$S', \%$	$F, \%$
1	2	3	4	5
$E_\gamma = 5 \text{ ГэВ}, E_{cut}^e = 1.5 \text{ МэВ}$				
0,1	$48,2 \pm 0,6$	$19,0 \pm 2,0$	$50,0 \pm 0,6$	$1,8 \pm 0,2$
0,5	$71,8 \pm 0,3$	$6,8 \pm 0,6$	$25,5 \pm 0,4$	$2,7 \pm 0,2$
1,0	$81,0 \pm 0,4$	$4,1 \pm 0,2$	$15,2 \pm 0,2$	$3,8 \pm 0,4$
2,0	$88,5 \pm 0,2$	$3,0 \pm 0,2$	$8,0 \pm 0,1$	$3,4 \pm 0,2$
4,0	$92,3 \pm 0,3$	$2,2 \pm 0,1$	$3,3 \pm 0,1$	$4,4 \pm 0,3$
8,0	$94,6 \pm 0,3$	$1,7 \pm 0,1$	$1,0 \pm 0,03$	$4,4 \pm 0,3$
$E_\gamma = 10 \text{ ГэВ}, E_{cut}^e = 1,5 \text{ МэВ}$				
0,1	$48,6 \pm 0,5$	$14,3 \pm 1,3$	$48,6 \pm 0,5$	$2,8 \pm 0,4$
0,5	$70,5 \pm 0,3$	$5,6 \pm 0,4$	$25,3 \pm 0,4$	$4,1 \pm 0,3$
1,0	$80,5 \pm 0,3$	$3,8 \pm 0,3$	$15,2 \pm 0,2$	$4,3 \pm 0,3$
2,0	$87,0 \pm 0,2$	$2,6 \pm 0,2$	$7,8 \pm 0,1$	$5,2 \pm 0,3$
4,0	$91,0 \pm 0,3$	$2,3 \pm 0,2$	$3,4 \pm 0,1$	$5,7 \pm 0,4$
8,0	$92,7 \pm 0,3$	$2,3 \pm 0,2$	$1,1 \pm 0,02$	$6,2 \pm 0,4$
$E_\gamma = 50 \text{ ГэВ}, E_{cut}^e = 5 \text{ МэВ}$				
0,1	$46,5 \pm 0,3$	$8,0 \pm 0,7$	$46,9 \pm 0,7$	$6,5 \pm 0,4$
0,5	$68,0 \pm 0,3$	$4,1 \pm 0,3$	$23,2 \pm 0,2$	$8,8 \pm 0,4$
1,0	$75,5 \pm 0,5$	$4,0 \pm 0,3$	$13,4 \pm 0,2$	$11,2 \pm 0,6$
2,0	$82,0 \pm 0,5$	$3,4 \pm 0,2$	$6,7 \pm 0,1$	$11,3 \pm 0,5$
4,0	$85,9 \pm 0,5$	$2,9 \pm 0,2$	$2,8 \pm 0,03$	$11,3 \pm 0,5$
8,0	$87,0 \pm 0,6$	$2,9 \pm 0,2$	$0,8 \pm 0,01$	$12,1 \pm 0,6$

Таблица 4  
(продолжение)

1	2	3	4	5
$E_\gamma = 100 \text{ ГэВ}, E_{cut}^e = 10 \text{ МэВ}$				
0,1	$47,6 \pm 0,3$	$6,2 \pm 0,5$	$44,6 \pm 0,3$	$7,7 \pm 0,4$
0,5	$67,8 \pm 0,5$	$3,0 \pm 0,4$	$20,6 \pm 0,2$	$11,6 \pm 0,6$
1,0	$76,4 \pm 0,4$	$2,8 \pm 0,2$	$11,8 \pm 0,1$	$11,8 \pm 0,5$
2,0	$81,3 \pm 0,5$	$2,8 \pm 0,3$	$5,6 \pm 0,05$	$13,2 \pm 0,5$
4,0	$84,2 \pm 0,5$	$3,2 \pm 0,3$	$2,1 \pm 0,02$	$13,7 \pm 0,5$
8,0	$84,8 \pm 0,5$	$4,1 \pm 0,3$	$0,6 \pm 0,01$	$14,6 \pm 0,5$

Таблица 5

Зависимость параметров ливня в стекле F-2  
с предшествующими конверторами (С) от координаты  
падения  $\gamma$ -квантов  $Y_{in}$ .

$Y_{in}$ , см	$E_a$ , %	$\delta$ , %	$S'$ , %	F, %	C, %
$E_\gamma = 5$ ГэВ, $E_{cut}^e = 1,5$ МэВ					
0,1	42,3 $\pm$ 1,1	26,3 $\pm$ 2,6	56,1 $\pm$ 2,3	1,2 $\pm$ 0,1	0,39 $\pm$ 0,02
0,5	64,4 $\pm$ 0,9	10,7 $\pm$ 1,4	33,3 $\pm$ 1,2	1,7 $\pm$ 0,2	0,62 $\pm$ 0,03
1,0	77,6 $\pm$ 0,6	5,5 $\pm$ 0,5	19,3 $\pm$ 0,7	2,6 $\pm$ 0,3	0,53 $\pm$ 0,03
2,0	87,0 $\pm$ 0,4	2,9 $\pm$ 0,3	10,0 $\pm$ 0,3	2,5 $\pm$ 0,2	0,56 $\pm$ 0,03
4,0	92,1 $\pm$ 0,3	2,4 $\pm$ 0,2	4,5 $\pm$ 0,2	2,9 $\pm$ 0,3	0,58 $\pm$ 0,04
8,0	95,1 $\pm$ 0,2	2,0 $\pm$ 0,1	1,4 $\pm$ 0,1	3,1 $\pm$ 0,2	0,49 $\pm$ 0,03
$E_\gamma = 10$ ГэВ, $E_{cut}^e = 1,5$ МэВ					
0,1	44,6 $\pm$ 0,9	19,8 $\pm$ 2,5	53,5 $\pm$ 1,9	1,7 $\pm$ 0,2	0,20 $\pm$ 0,01
0,5	68,8 $\pm$ 0,5	7,4 $\pm$ 0,7	28,1 $\pm$ 0,6	2,9 $\pm$ 0,2	0,27 $\pm$ 0,02
1,0	78,8 $\pm$ 0,4	3,7 $\pm$ 0,3	17,7 $\pm$ 0,5	3,2 $\pm$ 0,3	0,27 $\pm$ 0,02
2,0	88,3 $\pm$ 0,4	2,8 $\pm$ 0,2	7,7 $\pm$ 0,2	3,8 $\pm$ 0,4	0,27 $\pm$ 0,02
4,0	93,0 $\pm$ 0,2	2,2 $\pm$ 0,2	3,2 $\pm$ 0,1	3,6 $\pm$ 0,2	0,28 $\pm$ 0,02
8,0	94,7 $\pm$ 0,3	1,8 $\pm$ 0,1	1,0 $\pm$ 0,03	4,1 $\pm$ 0,3	0,29 $\pm$ 0,02
$E_\gamma = 50$ ГэВ, $E_{cut}^e = 5,0$ МэВ					
0,1	46,7 $\pm$ 0,4	9,5 $\pm$ 0,8	48,9 $\pm$ 0,9	4,4 $\pm$ 0,3	0,05 $\pm$ 0,00
0,5	69,7 $\pm$ 0,3	3,8 $\pm$ 0,3	24,0 $\pm$ 0,3	6,2 $\pm$ 0,4	0,06 $\pm$ 0,00
1,0	78,8 $\pm$ 0,3	2,5 $\pm$ 0,3	14,2 $\pm$ 0,2	6,8 $\pm$ 0,3	0,07 $\pm$ 0,00
2,0	85,2 $\pm$ 0,3	1,9 $\pm$ 0,2	7,0 $\pm$ 0,1	7,8 $\pm$ 0,4	0,06 $\pm$ 0,00
$E_\gamma = 100$ ГэВ, $E_{cut}^e = 10$ МэВ					
0,1	48,0 $\pm$ 0,3	7,1 $\pm$ 0,8	46,4 $\pm$ 0,6	5,5 $\pm$ 0,3	0,04 $\pm$ 0,00
0,5	70,1 $\pm$ 0,3	2,5 $\pm$ 0,1	21,5 $\pm$ 0,1	8,4 $\pm$ 0,4	0,03 $\pm$ 0,00
1,0	78,5 $\pm$ 0,4	2,5 $\pm$ 0,2	12,1 $\pm$ 0,2	9,3 $\pm$ 0,5	0,03 $\pm$ 0,00
2,0	84,0 $\pm$ 0,4	2,2 $\pm$ 0,2	5,8 $\pm$ 0,1	10,2 $\pm$ 0,5	0,04 $\pm$ 0,00

Таблица 6

Зависимость параметров ливней в ЭМК из стекла F-2 и слоя ОГВ от  $Z_1$ -координаты слоя ОГВ (см. рис.4).  
Энергия  $\gamma$ -квантов  $E_\gamma = 5$  ГэВ,  $Y_{in} = 0,1$  см.

$Z_1, \text{см}$	$E_a, \%$	$\delta, \%$	$E_a(\text{F-2}), \%$	$E_a(\text{ОГВ}), \%$
10	$87,9 \pm 0,7$	$3,4 \pm 0,3$	$60,0 \pm 0,5$	$27,9 \pm 0,5$
12	$88,9 \pm 0,7$	$2,8 \pm 0,2$	$59,1 \pm 0,5$	$29,8 \pm 0,5$
<u>14</u>	$89,4 \pm 0,6$	$3,0 \pm 0,3$	$57,9 \pm 0,4$	$31,5 \pm 0,5$
16	$88,3 \pm 0,6$	$3,0 \pm 0,2$	$57,5 \pm 0,5$	$30,8 \pm 0,5$
18	$88,2 \pm 0,7$	$3,3 \pm 0,3$	$56,7 \pm 0,5$	$31,5 \pm 0,5$
20	$87,4 \pm 0,6$	$3,5 \pm 0,4$	$56,8 \pm 0,4$	$30,6 \pm 0,4$
22	$86,1 \pm 0,7$	$3,9 \pm 0,3$	<b><math>55,9 \pm 0,5</math></b>	$30,2 \pm 0,5$
24	$84,2 \pm 0,6$	$4,5 \pm 0,5$	$54,8 \pm 0,5$	$29,4 \pm 0,5$

Таблица 7

Зависимость параметров ливней в калориметре из стекла F-2, сопряженного с ОГВ, от координаты падения  $\gamma$ -квантов  $Y_{in}$ .

$Y_{in}, \text{см}$	$E_a, \%$	$\delta, \%$	$E_a (F-2)\%$	$E_a (ОГВ)\%$	$S, \%$	$F, \%$
1	2	3	4	5	6	7
$E_\gamma = 5 \text{ ГэВ}, E_{cut}^\ominus = 1,5 \text{ МэВ}$						
-2,3	57,0±0,4	10,9±1,4	3,2±0,1	53,8±0,4	42,1±0,4	0,94±0,08
-1,9	80,1±0,2	4,2±0,4	4,8±0,1	75,3±0,2	18,3±0,2	1,5±0,1
-1,4	88,3±0,2	2,1±0,2	7,0±0,1	81,4±0,1	10,1±0,1	1,6±0,1
-0,4	93,9±0,3	1,2±0,1	15,5±0,2	76,4±0,2	4,0±0,1	2,1±0,1
0,1	88,8±0,6	3,0±0,2	59,4±0,4	29,4±0,5	7,3±0,3	3,9±0,3
0,5	89,7±0,4	3,3±0,3	74,7±0,3	15,0±0,3	6,1±0,2	4,3±0,2
1,0	91,1±0,3	2,8±0,2	82,9±0,3	8,2±0,2	4,4±0,1	4,5±0,3
2,0	92,7±0,3	2,0±0,2	89,2±0,2	3,6±0,1	2,9±0,1	4,4±0,2
4,0	93,8±0,3	2,0±0,2	92,6±0,3	1,3±0,04	1,7±0,04	4,5±0,3
8,0	94,5±0,3	2,0±0,1	94,1±0,3	0,3±0,02	0,66±0,02	4,9±0,3
$E_\gamma = 10 \text{ ГэВ}, E_{cut}^\ominus = 1,5 \text{ МэВ}$						
-2,3	56,4±0,3	9,3±0,8	3,2±0,1	53,2±0,3	42,3±0,3	1,3±0,1
-1,9	80,0±0,2	3,0±0,3	4,9±0,04	75,1±0,2	17,9±0,1	2,1±0,1
-1,4	87,6±0,2	1,6±0,1	7,0±0,1	80,6±0,2	9,9±0,1	2,4±0,2
-0,4	93,2±0,2	1,3±0,1	17,3±0,1	75,9±0,2	4,0±0,1	2,9±0,2
0,1	87,2±0,5	2,7±0,3	58,3±0,3	29,0±0,4	7,5±0,3	5,2±0,2
0,5	88,6±0,4	2,7±0,2	73,5±0,3	15,0±0,2	6,0±0,2	5,5±0,3
1,0	90,0±0,3	3,0±0,2	81,7±0,2	8,3±0,1	4,6±0,1	5,5±0,2
2,0	90,8±0,4	2,6±0,2	87,2±0,4	3,5±0,1	3,0±0,1	6,2±0,5
4,0	91,5±0,4	2,3±0,2	90,3±0,4	1,2±0,03	1,7±0,03	6,8±0,5
8,0	93,2±0,3	2,1±0,1	92,9±0,3	0,3±0,01	0,68±0,02	6,1±0,3

Таблица 7

(продолжение)

1	2	3	4	5	6	7
$E_{\gamma} = 50 \text{ ГэВ}, E_{\text{cut}}^e = 5,0 \text{ МэВ}$						
-2,3	58,7±0,2	4,2±0,3	2,6±0,02	56,1±0,2	38,7±0,2	2,6±0,1
-1,9	81,0±0,2	2,2±0,2	3,9±0,02	77,2±0,2	14,7±0,1	4,3±0,2
-1,4	87,7±0,2	1,8±0,1	5,5±0,02	82,3±0,2	7,6±0,1	4,7±0,2
-0,4	91,2±0,2	1,8±0,2	16,4±0,1	74,9±0,2	3,5±0,1	5,3±0,2
0,1	79,0±0,5	7,2±0,5	54,1±0,4	25,0±0,4	9,8±0,3	11,1±0,4
0,5	81,5±0,4	5,9±0,6	69,7±0,4	11,8±0,2	7,6±0,2	10,9±0,4
1,0	82,0±0,5	5,1±0,5	76,1±0,5	5,9±0,1	5,6±0,1	12,4±0,5
2,0	85,5±0,4	4,1±0,6	82,9±0,4	2,5±0,1	3,3±0,1	11,3±0,4
4,0	86,7±0,4	3,6±0,4	86,0±0,4	0,8±0,02	1,6±0,02	11,7±0,5
8,0	88,2±0,4	3,1±0,2	88,0±0,4	0,2±0,01	0,56±0,01	11,3±0,4
$E_{\gamma} = 100 \text{ ГэВ}, E_{\text{cut}}^e = 10 \text{ МэВ}$						
-2,3	60,8±0,2	3,5±0,3	2,2±0,01	58,7±0,2	35,3±0,1	3,9±0,2
-1,9	82,0±0,3	2,1±0,3	3,2±0,02	78,8±0,3	14,4±0,1	5,6±0,3
-1,4	88,5±0,2	1,9±0,1	4,5±0,02	84,0±0,2	6,1±0,1	5,4±0,2
-0,4	91,8±0,3	1,5±0,2	14,5±0,1	77,3±0,3	2,6±0,1	5,6±0,3
0,1	77,1±0,5	9,4±0,8	53,8±0,4	23,3±0,4	10,5±0,3	12,4±0,4
0,5	79,7±0,5	7,6±0,6	69,5±0,4	10,2±0,2	7,4±0,1	12,9±0,5
1,0	81,1±0,4	6,0±0,5	76,2±0,4	5,0±0,1	5,2±0,1	13,7±0,5
2,0	84,0±0,4	4,4±0,4	82,1±0,4	1,9±0,1	2,9±0,1	13,1±0,4
4,0	85,0±0,4	3,5±0,3	84,5±0,4	0,6±0,01	1,3±0,01	13,7±0,4
8,0	86,0±0,4	4,1±0,3	85,9±0,4	0,1±0,00	0,41±0,00	13,6±0,4

Таблица 8

Зависимость параметров ливней в фотонном детекторе от  $Z_1$ -координаты слоя ОГВ.

Толщина конверторов  $\Delta=0,9$  см.

$Z_1, \text{см}$	$E_a, \%$	$\delta, \%$	$E_a(F-2), \%$	$E_a(\text{ОГВ}), \%$
$E_\gamma = 5 \text{ ГэВ}, Y_{in} = 0,5 \text{ см}$				
6	$88,3 \pm 0,9$	$4,0 \pm 0,4$	$70,9 \pm 0,6$	$17,4 \pm 0,6$
8	$90,0 \pm 1,0$	$4,1 \pm 0,3$	$70,4 \pm 0,7$	$19,6 \pm 0,7$
10	$90,1 \pm 1,0$	$4,0 \pm 0,3$	$70,4 \pm 0,7$	$19,7 \pm 0,7$
12	$90,2 \pm 1,0$	$4,0 \pm 0,4$	$70,0 \pm 0,7$	$20,3 \pm 0,7$
14	$90,1 \pm 1,1$	$4,0 \pm 0,3$	$69,4 \pm 0,8$	$20,7 \pm 0,7$
16	$89,9 \pm 1,0$	$4,0 \pm 0,3$	$69,9 \pm 0,7$	$20,0 \pm 0,7$
18	$88,9 \pm 0,9$	$4,0 \pm 0,3$	$69,8 \pm 0,7$	$19,1 \pm 0,6$
20	$88,3 \pm 0,7$	$4,3 \pm 0,3$	$70,2 \pm 0,7$	$18,1 \pm 0,6$
$E_\gamma = 5 \text{ ГэВ}, Y_{in} = 1,0 \text{ см}$				
6	$89,8 \pm 0,6$	$4,0 \pm 0,3$	$79,7 \pm 0,5$	$10,1 \pm 0,4$
8	$90,2 \pm 0,7$	$3,7 \pm 0,3$	$79,4 \pm 0,5$	$10,7 \pm 0,5$
10	$90,6 \pm 0,6$	$3,7 \pm 0,3$	$79,6 \pm 0,5$	$11,0 \pm 0,4$
12	$90,7 \pm 0,7$	$2,6 \pm 0,2$	$78,8 \pm 0,6$	$12,0 \pm 0,5$
14	$91,0 \pm 0,5$	$3,1 \pm 0,3$	$80,6 \pm 0,4$	$10,4 \pm 0,3$
16	$91,3 \pm 0,7$	$3,1 \pm 0,3$	$79,8 \pm 0,5$	$11,6 \pm 0,4$
18	$90,7 \pm 0,7$	$3,2 \pm 0,3$	$79,0 \pm 0,6$	$11,7 \pm 0,5$
20	$90,3 \pm 0,6$	$3,3 \pm 0,3$	$79,6 \pm 0,5$	$10,7 \pm 0,4$

Таблица 9

Зависимость параметров ливней в фотонном  
детекторе от координаты падения  $\gamma$ -квантов  $Y_{in}$ .

$Y_{in}, \text{см}$	$E_a, \%$	$\delta, \%$	$E_a (F-2)\%$	$E_a (ОГВ)\%$	$S, \%$	$F, \%$
1	2	3	4	5	6	7
$E_\gamma = 5 \text{ ГэВ}, E_{cut}^e = 1,0 \text{ МэВ}, C = (0,66 \pm 0,04)\%$						
0,1	$89,7 \pm 1,2$	$3,9 \pm 1,3$	$52,8 \pm 0,8$	$36,9 \pm 0,9$	$7,4 \pm 0,3$	$2,5 \pm 0,1$
0,5	$90,0 \pm 1,0$	$2,9 \pm 0,4$	$70,2 \pm 0,7$	$19,8 \pm 0,7$	$6,5 \pm 0,2$	$3,2 \pm 0,2$
1,0	$91,2 \pm 0,7$	$3,4 \pm 0,4$	$80,0 \pm 0,5$	$11,2 \pm 0,4$	$5,4 \pm 0,2$	$3,0 \pm 0,2$
2,0	$92,6 \pm 0,5$	$2,7 \pm 0,2$	$87,3 \pm 0,4$	$5,3 \pm 0,3$	$3,8 \pm 0,1$	$3,2 \pm 0,2$
4,0	$94,2 \pm 0,2$	$2,1 \pm 0,2$	$92,4 \pm 0,2$	$1,9 \pm 0,1$	$2,1 \pm 0,1$	$3,2 \pm 0,2$
8,0	$95,1 \pm 0,2$	$2,0 \pm 0,2$	$94,7 \pm 0,3$	$0,43 \pm 0,02$	$0,93 \pm 0,05$	$3,5 \pm 0,3$
$E_\gamma = 10 \text{ ГэВ}, E_{cut}^e = 1,0 \text{ МэВ}, C = (0,31 \pm 0,02)\%$						
0,1	$88,9 \pm 0,8$	$3,6 \pm 0,3$	$55,0 \pm 0,5$	$33,9 \pm 0,6$	$7,2 \pm 0,3$	$3,7 \pm 0,2$
0,5	$89,2 \pm 0,6$	$3,0 \pm 0,2$	$72,3 \pm 0,4$	$16,9 \pm 0,4$	$6,5 \pm 0,2$	$4,1 \pm 0,2$
1,0	$90,5 \pm 0,4$	$2,4 \pm 0,2$	$81,2 \pm 0,3$	$9,3 \pm 0,2$	$5,1 \pm 0,2$	$4,2 \pm 0,3$
2,0	$91,6 \pm 0,3$	$2,3 \pm 0,2$	$87,2 \pm 0,3$	$4,4 \pm 0,2$	$3,5 \pm 0,1$	$4,7 \pm 0,3$
4,0	$93,4 \pm 0,2$	$2,0 \pm 0,2$	$91,9 \pm 0,2$	$1,6 \pm 0,1$	$1,9 \pm 0,1$	$4,4 \pm 0,2$
8,0	$94,7 \pm 0,2$	$1,8 \pm 0,1$	$94,4 \pm 0,2$	$0,39 \pm 0,02$	$0,78 \pm 0,02$	$4,2 \pm 0,2$
$E_\gamma = 50 \text{ ГэВ}, E_{cut}^e = 5,0 \text{ МэВ}, C = (0,05 \pm 0,003)\%$						
0,1	$84,8 \pm 0,5$	$3,8 \pm 0,5$	$55,6 \pm 0,3$	$29,2 \pm 0,4$	$7,9 \pm 0,3$	$7,2 \pm 0,3$
0,5	$85,9 \pm 0,4$	$3,6 \pm 0,3$	$71,7 \pm 0,3$	$14,2 \pm 0,3$	$6,6 \pm 0,2$	$7,4 \pm 0,3$
1,0	$86,7 \pm 0,4$	$2,7 \pm 0,3$	$79,2 \pm 0,3$	$7,5 \pm 0,1$	$4,9 \pm 0,1$	$8,3 \pm 0,4$
2,0	$88,9 \pm 0,3$	$1,9 \pm 0,2$	$85,7 \pm 0,3$	$3,1 \pm 0,1$	$3,1 \pm 0,1$	$8,0 \pm 0,3$
4,0	$89,8 \pm 0,4$	$2,3 \pm 0,3$	$88,7 \pm 0,4$	$1,0 \pm 0,02$	$1,6 \pm 0,02$	$8,6 \pm 0,4$
8,0	$90,3 \pm 0,4$	$2,4 \pm 0,2$	$90,1 \pm 0,4$	$0,25 \pm 0,01$	$0,60 \pm 0,01$	$9,0 \pm 0,4$

Таблица 9

(продолжение)

1	2	3	4	5	6	7
$E_{\gamma} = 100 \text{ ГэВ}, E_{\text{cut}}^{\oplus} = 10 \text{ МэВ}, C = (0,03 \pm 0,003)\%$						
0,1	$82,9 \pm 0,5$	$6,2 \pm 0,8$	$55,8 \pm 0,3$	$27,1 \pm 0,4$	$8,0 \pm 0,2$	$9,0 \pm 0,4$
0,5	$82,7 \pm 0,4$	$4,1 \pm 0,6$	$71,1 \pm 0,4$	$11,6 \pm 0,2$	$6,5 \pm 0,2$	$10,8 \pm 0,5$
1,0	$85,9 \pm 0,3$	$3,4 \pm 0,4$	$79,6 \pm 0,3$	$6,3 \pm 0,1$	$4,5 \pm 0,1$	$9,6 \pm 0,4$
2,0	$86,9 \pm 0,4$	$3,5 \pm 0,3$	$84,5 \pm 0,4$	$2,5 \pm 0,1$	$2,7 \pm 0,03$	$10,3 \pm 0,4$
4,0	$88,1 \pm 0,4$	$2,6 \pm 0,2$	$87,3 \pm 0,4$	$0,7 \pm 0,02$	$1,3 \pm 0,01$	$10,6 \pm 0,4$
8,0	$89,0 \pm 0,4$	$2,6 \pm 0,2$	$88,8 \pm 0,4$	$0,15 \pm 0,00$	$0,43 \pm 0,00$	$10,6 \pm 0,4$

Таблица 10

Зависимость энергетического разрешения  $\delta$  фотонного детектора от координаты падения  $\gamma$ -квантов  $Y_{in}$  при разных энергиях  $\gamma$ -квантов.

$\Delta = 0,9 \text{ см}$							
$E_\gamma$ , ГэВ	$\delta, \%$						
	$Y_{in} = -2,3$	-1,9	-1,4	-0,4	0,1	0,5	8,0
5	$10,9 \pm 1,4$	$4,2 \pm 0,4$	$2,1 \pm 0,2$	$1,2 \pm 0,1$	$3,9 \pm 1,3$	$2,9 \pm 0,4$	$2,0 \pm 0,2$
10	$9,3 \pm 0,8$	$3,0 \pm 0,3$	$1,6 \pm 0,1$	$1,3 \pm 0,1$	$3,6 \pm 0,3$	$3,0 \pm 0,2$	$1,8 \pm 0,1$
50	$4,2 \pm 0,3$	$2,2 \pm 0,2$	$1,8 \pm 0,1$	$1,8 \pm 0,2$	$3,8 \pm 0,5$	$3,6 \pm 0,3$	$2,4 \pm 0,2$
100	$3,5 \pm 0,3$	$2,1 \pm 0,3$	$1,9 \pm 0,1$	$1,5 \pm 0,2$	$6,2 \pm 0,8$	$4,1 \pm 0,6$	$2,6 \pm 0,2$
$\Delta = 2,5 \text{ см}$							
$E_\gamma$ , ГэВ	$\delta, \%$						
	$Y_{in} = -2,3$	-1,9	-1,4	-0,4	0,1	0,5	8,0
5	$10,9 \pm 1,4$	$4,2 \pm 0,4$	$2,1 \pm 0,2$	$1,2 \pm 0,1$	$11,0 \pm 1,1$	$14,1 \pm 1,3$	$7,8 \pm 0,5$
10	$9,3 \pm 0,8$	$3,0 \pm 0,3$	$1,6 \pm 0,1$	$1,3 \pm 0,1$	$8,0 \pm 0,6$	$10,6 \pm 2,1$	$5,4 \pm 0,4$
50	$4,2 \pm 0,3$	$2,2 \pm 0,2$	$1,8 \pm 0,1$	$1,8 \pm 0,2$	$4,8 \pm 0,4$	$3,8 \pm 0,3$	$2,3 \pm 0,2$
100	$3,5 \pm 0,3$	$2,1 \pm 0,3$	$1,9 \pm 0,1$	$1,5 \pm 0,2$	$5,9 \pm 0,5$	$3,8 \pm 0,4$	$2,3 \pm 0,3$